

**Umweltdaten der deutschen Zementindustrie  
Environmental Data of the German Cement Industry**



2019

**Inhalt / Contents**

|  |    |
|--|----|
| <b>Vorwort / Foreword</b>  | 3  |
| <b>1 Zementherstellung / Cement manufacture</b>  | 5  |
| <b>2 Produktions- und Strukturdaten / Production and structural data</b>                               | 7  |
| <b>3 Einsatzstoffe / Input materials</b>   | 9  |
| 3.1 Rohstoffe / Raw materials  | 9  |
| 3.2 Brennstoffe / Fuels  | 10 |
| <b>4 Energie / Energy</b>  | 12 |
| <b>5 Emissionen / Emissions</b>  | 14 |
| 5.1 Treibhausgase / Kohlenstoffdioxid / Greenhouse gases /<br>Carbon dioxide                           | 15 |
| 5.2 Staub / Dust   | 16 |
| 5.3 Stickstoffoxide / Nitrogen oxides  | 16 |
| 5.4 Ammoniak / Ammonia (NH <sub>3</sub> )  | 17 |
| 5.5 Schwefeldioxid / Sulphur dioxide   | 19 |
| 5.6 Kohlenstoffmonoxid und organischer Gesamtkohlenstoff /<br>Carbon monoxide and total organic carbon | 20 |
| 5.7 Dioxine und Furane / Dioxins and Furans  | 21 |
| 5.8 Polychlorierte Biphenyle / Polychlorinated biphenyls   | 22 |
| 5.9 Polycyclische aromatische Kohlenwasserstoffe /<br>Polycyclic aromatic hydrocarbons                 | 23 |
| 5.10 Benzol, Toluol, Ethylbenzol, Xylol /<br>Benzene, toluene, ethylbenzene, xylene                    | 24 |
| 5.11 Benzol / Benzene  | 25 |
| 5.12 Gasförmige anorganische Chlorverbindungen /<br>Gaseous inorganic chlorine compounds               | 26 |
| 5.13 Gasförmige anorganische Fluorverbindungen /<br>Gaseous inorganic fluorine compounds               | 26 |
| 5.14 Spurenelemente / Trace elements   | 27 |
| 5.14.1 Cadmium / Cadmium (Cd)  | 28 |
| 5.14.2 Thallium / Thallium (Tl)  | 29 |
| 5.14.3 Quecksilber / Mercury (Hg)  | 30 |
| 5.14.4 Antimon / Antimony (Sb)   | 30 |
| 5.14.5 Arsen / Arsenic (As)  | 31 |
| 5.14.6 Blei / Lead (Pb)  | 31 |
| 5.14.7 Chrom / Chromium (Cr)   | 32 |
| 5.14.8 Cobalt / Cobalt (Co)  | 32 |
| 5.14.9 Kupfer / Copper (Cu)  | 33 |
| 5.14.10 Mangan / Manganese (Mn)  | 33 |
| 5.14.11 Nickel / Nickel (Ni)   | 34 |
| 5.14.12 Vanadium / Vanadium (V)  | 34 |
| 5.14.13 Zinn / Tin (Sn)  | 35 |
| 5.14.14 Beryllium / Beryllium (Be)   | 35 |
| 5.14.15 Selen / Selenium (Se)  | 36 |
| 5.14.16 Tellur / Tellurium (Te)  | 36 |
| 5.14.17 Zink / Zinc (Zn)   | 37 |
| 5.14.18 Formaldehyd / Formaldehyde   | 37 |
| 5.14.19 Benzo(a)pyren / Benzo(a)pyren  | 38 |
| <b>Literatur / Literature</b>  | 39 |
| <b>Impressum / Imprint</b>   | 40 |

Anmerkung: Zahlendarstellung in Tabellen und Grafiken entsprechend deutscher Regeln.

Note: Numerical expressions in tables and diagrams are shown using standard German punctuation.

Liebe Leserinnen und Leser,

nicht zuletzt Bewegungen wie „Fridays for Future“ haben gezeigt, wie stark das Interesse der Öffentlichkeit an den Umweltauswirkungen wirtschaftlichen Handelns gewachsen ist. Umso wichtiger ist deren transparente Darstellung auf Branchenebene. Für den VDZ gehört dies seit vielen Jahren zu seinen festen Aufgaben. So erscheinen seit 2000 jährlich die „Umweltdaten der deutschen Zementindustrie“, die der interessierten Öffentlichkeit einen umfassenden Überblick sowohl zum Rohstoff- und Energieeinsatz als auch zu den verschiedenen Emissionen, wie z.B. Kohlenstoffdioxid, organische Emissionen oder Stickstoffoxide, der deutschen Zementhersteller liefern.

Um die Auswirkungen umweltrelevanter Emissionen zu verringern, hat die deutsche Zementindustrie allein in den Jahren 2016 bis 2018 mehr als eine halbe Milliarde Euro in ihren Maschinenpark und damit vor allen Dingen in die Umwelttechnik investiert. So wurden durch den Einsatz der SNCR- und SCR-Technologien die Voraussetzungen geschaffen, die seit 2019 geltenden strengeren  $\text{NO}_x$ -Grenzwerte von  $200 \text{ mg/m}^3$  einzuhalten. Bis Ende 2019 wurden bereits 17 SCR-Anlagen installiert, die neben den Stickstoffoxid- auch die Gesamtkohlenstoffemissionen mitunter deutlich reduzieren. Darüber hinaus finden sich in fast allen klinkerproduzierenden Zementwerken auch SNCR-Anlagen – auch an Standorten, an denen bereits SCR-Anlagen betrieben werden. Ein weiteres Augenmerk liegt auf der Verringerung von Quecksilber-Emissionen. Das Verhalten dieses Stoffes bei der Zementherstellung ist seit vielen Jahren sehr gut bekannt und Minderungsverfahren gehören zum Stand der Technik. Weil Quecksilber wegen seiner hohen Umweltrelevanz nach wie vor im Fokus der politischen Debatte steht, befasst sich die deutsche Industrie gemeinsam mit dem VDZ jedoch weiter intensiv mit diesem Thema.

Darüber hinaus erwarten die deutschen Zementhersteller weitere Herausforderungen, zu denen u.a. die Verringerung ihres  $\text{CO}_2$ -Fußabdrucks zählt. Neben den traditionellen Maßnahmen zur Erreichung dieses Ziels (z.B. Erhöhung der Ersatzbrennstoffrate, Zemente mit geringerem Klinkergehalt) kann eine vollständige Dekarbonisierung unserer Industrie nur durch den Einsatz sogenannter „Breakthrough“-Technologien, wie Carbon Capture, gelingen. Die Zementhersteller haben hierzu unter dem Dach der European Cement Research Academy (ECRA) entsprechende Forschungsarbeiten abgeschlossen und in den Unternehmen entsprechende Demonstrationsprojekte im Industriemaßstab angestoßen. Der Transport, die Nutzung oder gar Speicherung großer Mengen an  $\text{CO}_2$  ist eine große Herausforderung der Zukunft, der sich der VDZ in gemeinsamen Projekten mit anderen gesellschaftlichen Gruppen widmet.

Eine weitere Herausforderung liegt im Bereich der Schonung natürlicher Ressourcen. Politische Programme wie das Deutsche Ressourceneffizienzprogramm (ProgRess III) sowie abfallrechtliche Gesetze legen den Schwerpunkt mehr und mehr auf die Wiederverwendung oder das Recycling von Materialien. Die deutschen Zement- und Betonhersteller forschen daher verstärkt an alternativen Stoffen, um perspektivisch den Einsatz von Primärrohstoffen wie Kalkstein, Kies und Sand weiter zu verringern. Dabei kommen sowohl Nebenprodukte aus anderen industriellen Herstellungsprozessen (z.B. Hüttensand aus der Stahlproduktion) als auch mineralische Bauabfälle wie Betonbrechsand oder Mauerwerksbruch in Frage. Allerdings ist die Verfügbarkeit solcher alternativer Einsatzstoffe stets mit erheblichen Unsicherheiten

Dear Readers,

Not least movements such as „Fridays for Future“ are a reflection of the growing public interest in the environmental impact of economic activities. It is therefore all the more important for the industry to supply transparent information on this topic. VDZ has considered this to be one of its essential tasks for many years now. This includes publishing the „Environmental data of the German cement industry“ every year since 2000 to provide the public with a comprehensive review of both the raw material usage and energy input of the German cement manufacturers, as well as of the various emissions such as carbon dioxide, organic emissions and nitrogen oxides.

In the period between 2016 and 2018 alone, the German cement industry invested more than half a billion euros in machinery and equipment, and thus primarily in environmental technology, with a view to reducing the impact of environmentally relevant emissions. The use of SNCR and SCR technologies, for example, has created a basis for satisfying the more stringent  $\text{NO}_x$  limit values of  $200 \text{ mg/m}^3$  applicable since 2019. By the end of 2019, 17 SCR plants had already been installed and reduce not just nitrogen oxide emissions but also total carbon emissions to a sometimes quite considerable extent. What's more, virtually all clinker-producing cement plants are equipped with SNCR plants – including at sites already operating SCR plants. A further focal point is the reduction of mercury emissions. The way in which this substance behaves in cement production has been well documented for many years now and reduction processes have become standard in the industry. However, as mercury still remains a central topic of political debate on account of its great environmental relevance, the German industry and VDZ are together continuing to work intensively on this subject.

Further challenges faced by the German cement manufacturers include a reduction in their carbon footprint, for example. Alongside conventional methods of attaining this goal (e.g. an increase in the rate of fuel substitution, cements with a lower clinker content), it will be necessary to employ so-called breakthrough technologies such as carbon capture to ensure the full decarbonisation of our industry. To this end, the cement manufacturers have completed the appropriate research work under the auspices of the European Cement Research Academy (ECRA) and initiated corresponding industrial scale demonstration projects at the various plants. The transportation, utilisation or even storage of large quantities of  $\text{CO}_2$  represents a major challenge for the future and one on which VDZ is working in the context of joint projects with groups from other areas of society.

The conservation of natural resources is a further aspect to be dealt with. Political schemes such as the German Resource Efficiency Programme (ProgRess III) and waste disposal legislation are increasingly placing emphasis on the re-use or recycling of materials. Consequently, the German cement and concrete manufacturers are intensifying their research into alternative substances as a possible way of further reducing the use of primary raw materials such as limestone, gravel and sand in future. This potentially includes both by-products from other industrial manufacturing processes (e.g. blast furnace slag from steel-making) and mineral construction waste such as crushed sand or masonry rubble. The availability of such alternative constituents is however always subject to a considerable degree of uncertainty. A reliable supply of primary raw materials therefore remains essential.

behaftet. Eine sichere Versorgung mit Primärrohstoffen bleibt daher auch weiterhin unerlässlich.

Die deutschen Zementhersteller stellen sich bereits heute den zahlreichen umweltpolitischen Herausforderungen. Sie werden auch künftig weitere Anstrengungen und Investitionen tätigen, um die Zementproduktion zukunftssicher zu gestalten.

Düsseldorf, im August 2020

Today, the German cement manufacturers are already facing up to the many challenges associated with environmental policy. And they will be continuing with their efforts and investments to make cement production fit for the future as well.

Düsseldorf, August 2020

## 1 Zementherstellung ■

Zement ist ein Baustoff, der infolge chemischer Reaktionen mit Wasser selbstständig erhärtet und danach sowohl an der Luft als auch unter Wasser fest und raumbeständig bleibt.

Zement besteht aus fein gemahlenem Portlandzementklinker und Calciumsulfat (natürlicher Gips, Anhydrit oder Gips aus Rauchgasentschwefelungsanlagen). Darüber hinaus kann Zement andere Hauptbestandteile wie Hüttensand, natürliche Pozzolane (z. B. Trass), Flugasche, Ölschieferabbrand oder Kalkstein enthalten. Eine schematische Darstellung des Herstellungsprozesses zeigt Bild 1-1.

Der sogenannte Portlandzementklinker entsteht aus einem Rohstoffgemisch, das hauptsächlich Calciumoxid (CaO), Siliciumdioxid (SiO<sub>2</sub>), Aluminiumoxid (Tonerde (Al<sub>2</sub>O<sub>3</sub>)) und Eisenoxid (Fe<sub>2</sub>O<sub>3</sub>) enthält. Kalkstein, Kreide und Ton oder deren natürlich vorkommendes Gemisch, der Kalksteinmergel, liefern diese chemischen Bestandteile. Kalkstein und Kreide bestehen aus Calciumcarbonat (CaCO<sub>3</sub>). Wesentliche Bestandteile des natürlichen Verwitterungsprodukts Ton sind feinkörnige und glimmerartige Minerale sowie in geringer Menge Quarz und Feldspat als Reste des Ausgangsmaterials. Tonminerale und Feldspat sind Verbindungen von Aluminiumoxid und Siliciumdioxid (Alumosilicate) und Alkalien wie Natrium und Kalium. Das für die Bildung der Schmelze erforderliche Eisenoxid ist als Eisenhydroxid Bestandteil der Tonminerale oder wird als Eisenerz zugesetzt. Damit der Zement die vorgegebenen Qualitätsanforderungen erfüllt, ist eine exakt definierte Rohmaterialzusammensetzung erforderlich. Abweichungen können nur in geringem Umfang toleriert werden.

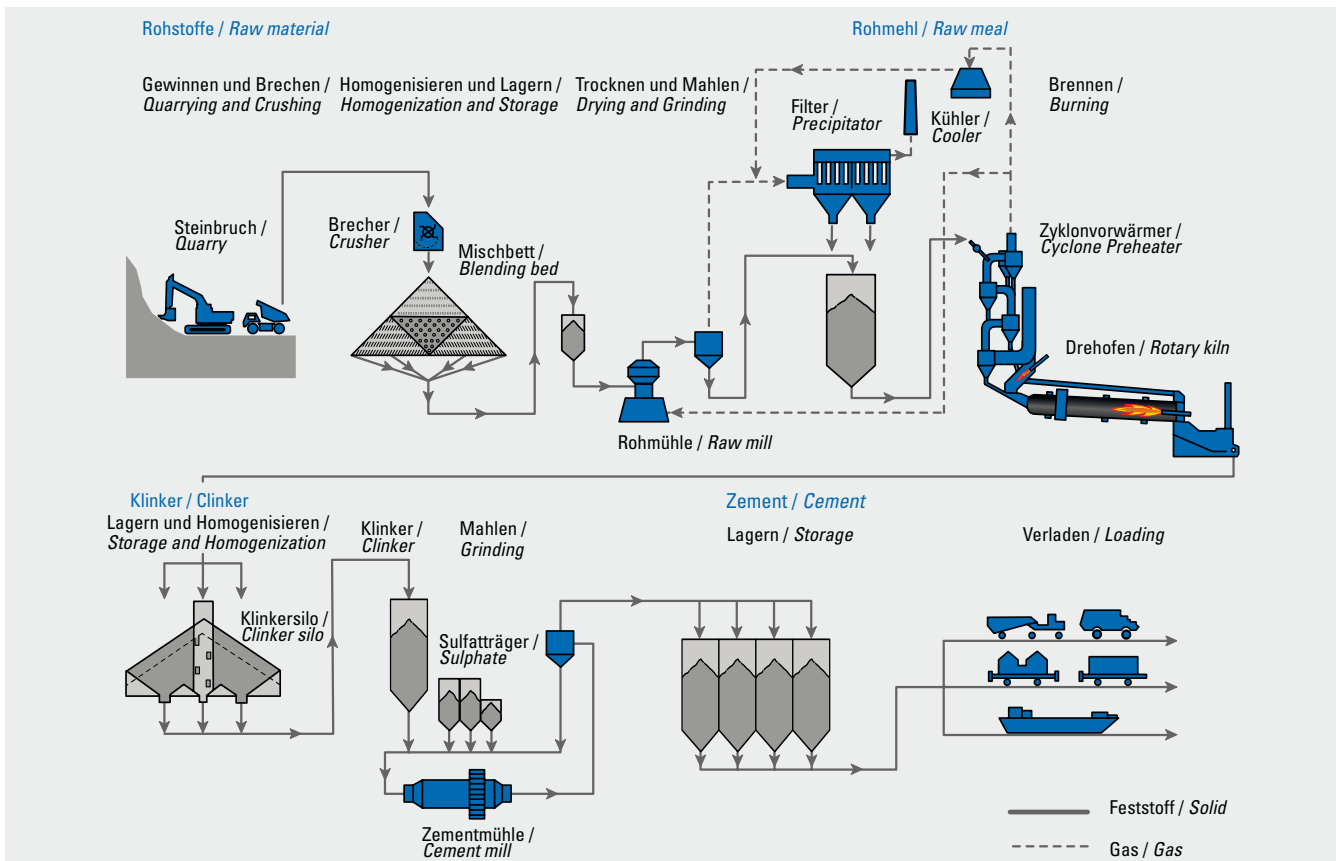
## 1 Cement manufacture ■

Cement is a construction material that sets automatically as a consequence of chemical reactions with water and subsequently retains its strength and soundness both when exposed to air and submerged in water.

Cement consists of finely ground Portland cement clinker and calcium sulphate (natural gypsum, anhydrite or gypsum from flue gas desulphurisation). In addition, cement may contain other main constituents, such as granulated blastfurnace slag, natural pozzolana (e.g. trass), fly ash, burnt oil shale or limestone. Fig. 1-1 depicts the manufacturing process schematically.

What is known as Portland cement clinker is made from a raw material mix mainly consisting of calcium oxide (CaO), silicon dioxide (SiO<sub>2</sub>), aluminium oxide (alumina (Al<sub>2</sub>O<sub>3</sub>)), and iron oxide (Fe<sub>2</sub>O<sub>3</sub>). These chemical constituents are supplied by limestone, chalk and clay or their natural blend, lime marl. Limestone and chalk are composed of calcium carbonate (CaCO<sub>3</sub>). The major constituents of clay, which is a natural product of weathering processes, are fine-grained mica-like minerals and smaller quantities of quartz and feldspar, which constitute residues of the starting material. Clay minerals and feldspar are compounds of aluminium oxide and silicon dioxide (aluminosilicates) with alkalis, such as sodium and potassium. The iron oxide required for melt formation is either contained in the clay minerals in the form of ferrous hydroxide or it is added in the form of iron ore. For the cement to conform to the quality requirements stipulated, a precisely defined raw material composition must be complied with. Only a small margin of deviation can be tolerated.

5



**Bild 1-1** Schematische Darstellung des Zementherstellungsprozesses vom Steinbruch bis zum Versand  
**Fig. 1-1** Schematic representation of the cement manufacturing process from quarry to dispatch

Das Rohstoffgemisch wird in einem Drehofen bei einer Temperatur von etwa 1.450 °C bis zum Sintern erhitzt. Aus den Ausgangsstoffen bilden sich dabei neue Verbindungen, die sogenannten Klinkerphasen.

The raw material mix is heated up to a temperature of approximately 1,450 °C in a rotary kiln until it starts sintering. This results in the starting materials forming new compounds known as clinker phases.

Das sind bestimmte Calciumsilicate und Calciumaluminat, die dem Zement seine charakteristische Eigenschaft der Erhärtung in Gegenwart von Wasser verleihen.

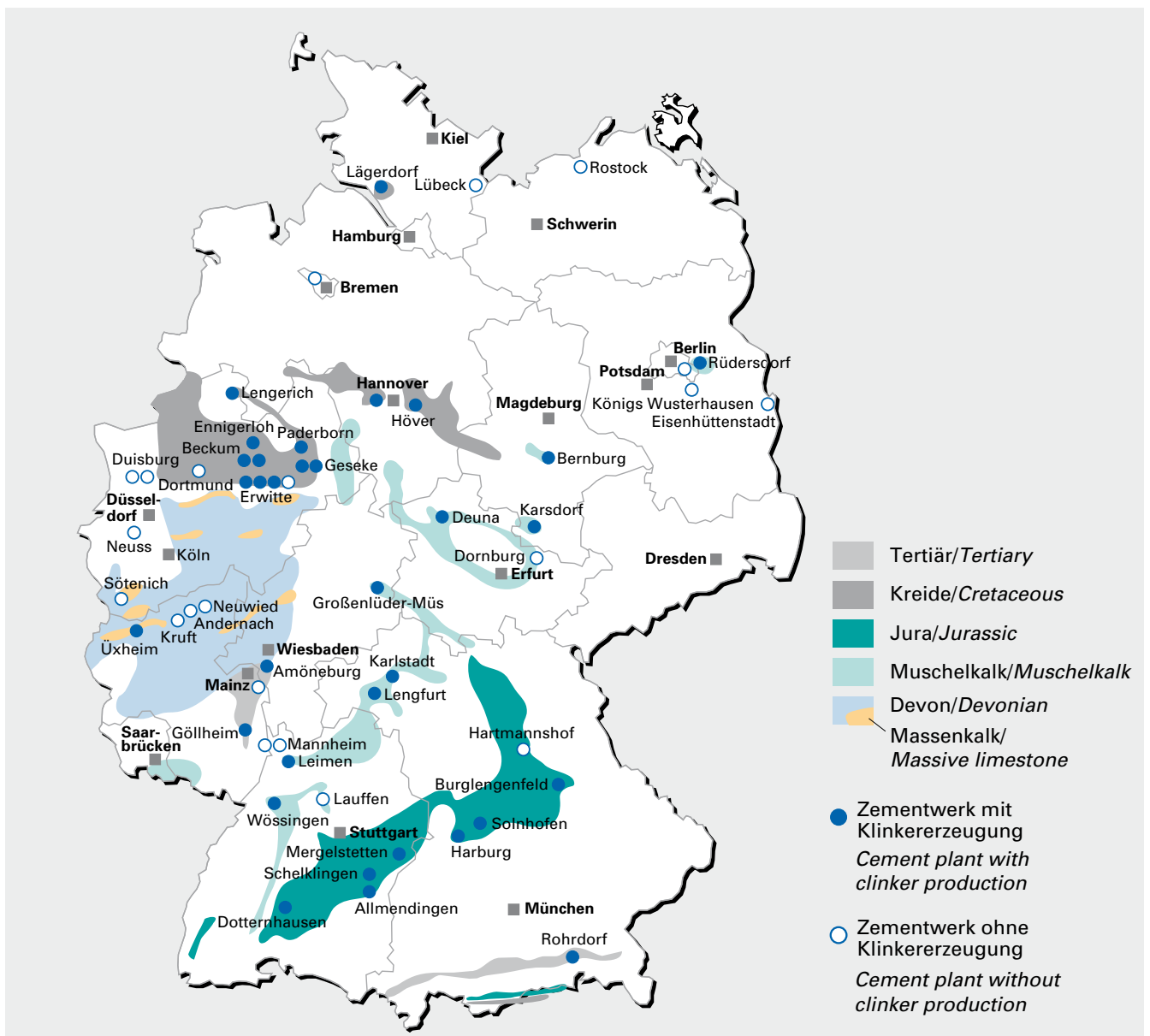
These are certain calcium silicates and calcium aluminates which confer on the cement its characteristic feature of setting in the presence of water.

Der im Drehofen gebrannte Klinker wird anschließend in Zementmühlen unter Zusatz von Calciumsulfat und ggf. weiteren Hauptbestandteilen zu Zement gemahlen. Mit Hilfe des Calciumsulfats wird das Erstarrungsverhalten des Zements gesteuert, damit das Produkt bei der Betonherstellung optimal verarbeitet werden kann.

The clinker burnt in the rotary kiln is subsequently ground to cement in finish mills with calcium sulphate and, if necessary, with further main constituents being added. The calcium sulphate serves to adjust the setting behaviour of the cement in order to obtain optimum workability of the product during concrete production.

Die weiteren Hauptbestandteile neben Zementklinker sind silicatische, aluminatische oder kalkhaltige Stoffe. Sie tragen zur Erhärtung des Zements bei oder wirken sich günstig auf die physikalischen Eigenschaften des Betons aus.

Apart from cement clinker, substances of silicate, aluminate or calcareous nature represent the further main constituents. They contribute to the setting of the cement or have favourable effects on the physical properties of the concrete.



**Bild 2-1** Zementwerke in der Bundesrepublik Deutschland im Jahr 2020  
**Fig. 2-1** Cement works in the Federal Republic of Germany in the year 2020

## 2 Produktions- und Strukturdaten ■

Zement ist ein homogenes Massengut, das zu Lande per Lkw transportiert wird und deshalb transportkostenintensiv ist. Zement wird überwiegend zu lokalen Absatzmärkten geliefert. Die Produktionsstandorte sind den Rohstoffvorkommen entsprechend über das Bundesgebiet verteilt und befinden sich in unmittelbarer Nähe zu den jeweiligen Kalksteinvorkommen. Im Jahr 2019 produzierten 21 Unternehmen in 54 Werken etwa 34,2 Mio. Tonnen Zement [1] (Bild 2-1).

Die Tabellen 2-1 und 2-3 geben einen Überblick über die Klinkerproduktion in Deutschland sowie den daraus hergestellten Zement. Zu den Hauptabnehmern gehören die Transportbetonindustrie mit ca. 56 % sowie die Hersteller von Betonbauteilen mit ca. 22 % des inländischen Zementversandes. Etwa sechs Prozent des Zements wird als Sackzement versandt.

Zementklinker wird heute in Deutschland zum überwiegenden Teil nach dem Trockenverfahren in Drehöfen mit Zyklonvorwärmer hergestellt. Einen deutlich geringeren Anteil an der Produktion haben Öfen mit Rostvorwärmer (Tabelle 2-2).

**Tabelle 2-1** Produktion, Versand, Export und Import  
**Table 2-1** Output, deliveries, export and import

| Jahr /<br>Year | Produktion / Production |                    | Zementversand / Cement deliveries                |                                   |  |                                 |
|----------------|-------------------------|--------------------|--|-----------------------------------|--|---------------------------------|
|                | Klinker /<br>Clinker    | Zement /<br>Cement | Zementversand<br>Inland /<br>Domestic deliveries | Zementexporte /<br>Cement exports | Zementversand gesamt /<br>Total cement<br>deliveries | Zementimport /<br>Cement import |
|                | 1.000 t                 | 1.000 t            | 1.000 t  | 1.000 t                           | 1.000 t  | 1.000 t                         |
| 2010           | 22.996                  | 29.915             | 23.406   | 6.609                             | 30.015   | 1.285                           |
| 2011           | 24.775                  | 33.540             | 26.767   | 7.174                             | 33.941   | 1.305                           |
| 2012           | 24.581                  | 32.432             | 25.492   | 6.542                             | 32.034   | 1.277                           |
| 2013           | 23.127                  | 31.308             | 25.201   | 6.055                             | 31.256   | 1.344                           |
| 2014           | 23.871                  | 32.099             | 25.850   | 5.748                             | 31.598   | 1.325                           |
| 2015           | 23.355                  | 31.160             | 25.334   | 6.262                             | 31.596   | 1.308                           |
| 2016           | 23.423                  | 32.674             | 26.185   | 6.093                             | 32.278   | 1.320                           |
| 2017           | 24.802                  | 33.991             | 27.265   | 6.211                             | 33.476   | 1.603                           |
| 2018           | 24.469                  | 33.655             | 27.449   | 6.324                             | 33.773   | 1.680                           |
| 2019           | 24.578                  | 34.186             | 27.554   | 6.543                             | 34.097   | 1.112                           |

Quellen / Sources: VDZ, Statistisches Bundesamt, Deutsche Emissionshandelsstelle

**Tabelle 2-2** Anzahl und Kapazität der Öfen mit Betriebsgenehmigungen in Deutschland in den Jahren 2018 bis 2020  
**Table 2-2** Number and capacity of kilns with operating permits in Germany in the years from 2018 to 2020

|  | Stand: 01.01.2018/<br>As at 01. Jan 2018 |                        |       | Stand: 01.01.2019/<br>As at 01. Jan 2019 |                        |       | Stand: 01.01.2020/<br>As at 01. Jan 2020 |                        |       |
|--|--|------------------------|-------|--|------------------------|-------|--|------------------------|-------|
|  | Anzahl/<br>Number                        | Kapazität/<br>Capacity |       | Anzahl/<br>Number                        | Kapazität/<br>Capacity |       | Anzahl/<br>Number                        | Kapazität/<br>Capacity |       |
|  |  | t/d                    | %     |  | t/d                    | %     |  | t/d                    | %     |
| Ofen mit Zyklonvorwärmer/<br>Kilns with cyclone preheaters         | 38                                       | 99.610                 | 93,7  | 36                                       | 99.060                 | 94,7  | 36                                       | 99.060                 | 96,3  |
| Ofen mit Rostvorwärmer/<br>Kilns with grate preheaters             | 6  | 5.500                  | 5,2   | 5  | 4.400                  | 4,2   | 2  | 2.600                  | 2,5   |
| Schachtofen / Shaft kilns  | 8  | 1.200                  | 1,1   | 8  | 1.200                  | 1,1   | 8  | 1.200                  | 1,2   |
| Summe / Total  | 52                                       | 106.310                | 100   | 49                                       | 104.660                | 100   | 46                                       | 102.860                | 100   |
| mittlere Ofenkapazität<br>in t/d / Average kiln<br>capacity in t/d |  |                        | 2.389 |  |                        | 2.523 |  |                        | 2.675 |
|  | Drehöfen / Rotary kilns                  |                        |       |  |                        |       |  |                        |       |
|  | Schachtofen / Shaft kilns                |                        | 150   |  |                        | 150   |  |                        | 150   |

Quelle / Source: VDZ

## 2 Production and structural data ■

Cement is a homogeneous bulk commodity that, given the high cost of road transport by truck is mainly delivered to local markets. Production facilities of the German cement industry are spread over the Federal Republic of Germany according to the appropriate mineral resources and located in the immediate vicinity of the respective limestone deposits. In 2019, 21 companies with their 54 works produced about 34.2 million t of cement in Germany [1] (Fig. 2-1).

Tables 2-1 and 2-3 give an overview of the clinker output in Germany and the cement made from it. The ready-mixed concrete industry (56 % of domestic cement deliveries) and the manufacturers of concrete elements (22 % of domestic cement deliveries) are among the principal buyers of cement. Six % of the cement is dispatched as bagged cement.

In Germany most of the cement clinker is nowadays produced in rotary kilns with cyclone preheaters applying the dry process. Kilns equipped with grate preheaters account for a significantly lower share of output (Table 2-2).



**Tabelle 2-3** Inlandsversand der Verbandsmitglieder nach Zementarten  
**Table 2-3** Domestic deliveries classified by cement types

| Jahr/<br>Year      | CEM    |        |                    |                     |       |                            | Gesamt/<br>Total |
|--------------------|--------|--------|--------------------|---------------------|-------|----------------------------|------------------|
|                    | I      | II     |                    |                     | III   | IV + V + Sonst./<br>Others |                  |
|                    |        |        | II/S + II/P + II/V | II/T + II/LL + II/M |       |                            |                  |
| 1.000 t            |        |        |                    |                     |       |                            |                  |
| 2005 <sup>1)</sup> | 13.226 | 8.055  | 3.740              | 4.315               | 3.621 | 193                        | 25.095           |
| 2006               | 11.189 | 10.628 | 5.202              | 5.426               | 4.764 | 263                        | 26.843           |
| 2007               | 8.932  | 11.299 | 5.259              | 6.040               | 4.883 | 286                        | 25.399           |
| 2008               | 7.710  | 12.514 | 5.710              | 6.801               | 5.289 | 251                        | 25.764           |
| 2009               | 8.031  | 11.122 | 3.075              | 8.047               | 4.212 | 223                        | 23.588           |
| 2010               | 7.694  | 10.550 | 3.017              | 7.533               | 4.549 | 179                        | 22.972           |
| 2011               | 8.286  | 12.000 | 3.987              | 8.013               | 5.664 | 268                        | 26.218           |
| 2012               | 7.404  | 12.060 | 4.635              | 7.425               | 5.530 | 275                        | 25.269           |
| 2013 <sup>1)</sup> | 7.130  | 11.851 | 4.428              | 7.423               | 5.498 | 241                        | 24.720           |
| 2014               | 7.554  | 11.826 | 4.456              | 7.370               | 5.677 | 279                        | 25.336           |
| 2015               | 7.554  | 11.350 | 4.461              | 6.889               | 5.653 | 292                        | 24.849           |
| 2016 <sup>1)</sup> | 7.305  | 11.955 | 4.880              | 7.074               | 6.095 | 187                        | 25.542           |
| 2017               | 7.342  | 12.262 | 5.029              | 7.233               | 6.752 | 240                        | 26.596           |
| 2018 <sup>1)</sup> | 7.344  | 12.589 | 5.012              | 7.578               | 6.214 | 249                        | 26.396           |
| 2019               | 7.251  | 12.982 | 5.103              | 7.879               | 6.008 | 251                        | 26.492           |

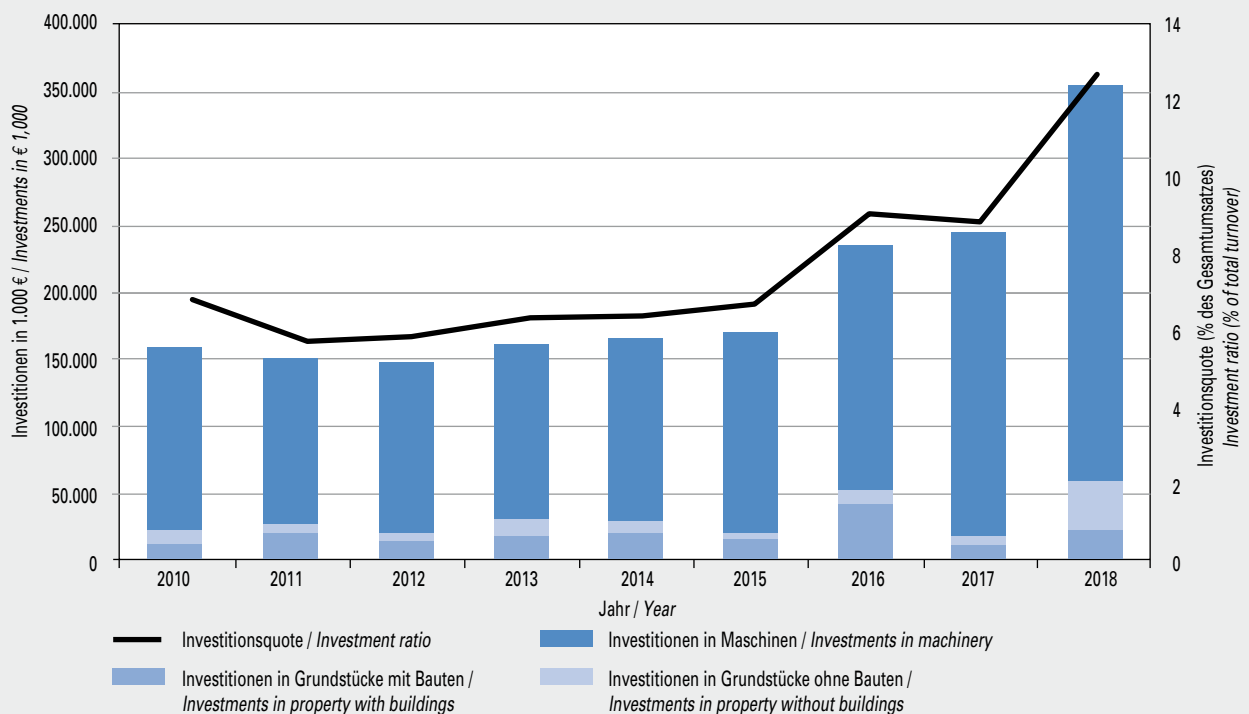
Anmerkung/Note:

CEM I = Portlandzement; CEM II/S = Portlandhüttenzement; CEM II/P = Portlandpuzzolanzenzement; CEM II/V = Portlandflugaschezement; CEM II/T = Portlandschieferzement; CEM II/LL = Portlandkalksteinzement; CEM II/M = Portlandkompositzement; CEM III = Hochofenzement; CEM IV = Puzzolanzenzement; CEM V = Kompositzement; Sonstige = sonstige bauaufsichtlich zugelassene Zemente, Boden- und Tragschichtbinder (Festigkeit  $\geq 32,5$  N/mm<sup>2</sup>), Klinkermehl

CEM I = Portland cement; CEM II/S = Portland-slag cement; CEM II/P = Portland pozzolana cement; CEM II/V = Portland-fly ash cement; CEM II/T = Portland-burnt shale cement; CEM II/LL = Portland-limestone cement; CEM II/M = Portland-composite cement; CEM III = blastfurnace cement; CEM IV = pozzolana cement; CEM V = composite cement; Other = other cements approved by the building supervisory authorities, road binders (strength  $\geq 32,5$  N/mm<sup>2</sup>), clinker meal

<sup>1)</sup> Werte wegen Änderung des Berichtskreises mit den Vorjahren nicht vergleichbar / Reporting different from that of the previous year

Quelle / Source: VDZ



**Bild 2-2** Investitionen der deutschen Zementindustrie  
**Fig. 2-2** Investments of the German cement industry

Quelle / Source: Statistisches Bundesamt



## 3 Einsatzstoffe ■

### 3.1 Rohstoffe

Die wichtigsten Ausgangsstoffe zur Herstellung des Portlandzementklinkers sind Kalkstein oder Kreide und Ton oder deren natürlich vorkommendes Gemisch, der Kalksteinmergel. In Abhängigkeit von der Rohstoffsituation am Standort des Zementwerks kann es erforderlich sein, der Rohstoffmischung reinen Kalkstein, Eisenerz, Sand oder andere Korrekturstoffe zuzusetzen, um fehlende chemische Bestandteile auszugleichen. Neben natürlichen Rohstoffen können auch alternative Rohstoffe, wie z. B. Kalkschlämme, Gießereialsande und Flugaschen, eingesetzt werden. Sie enthalten als Hauptbestandteile ebenfalls Siliciumdioxid, Aluminiumoxid, Eisenoxid und/oder Calciumoxid und werden mit den Rohstoffen mengenmäßig so kombiniert, dass die Anforderungen an die vorgegebene Klinkerzusammensetzung erfüllt werden. Die Voraussetzungen, die die stoffliche Zusammensetzung eines alternativen Rohstoffs erfüllen müssen, hängen in erster Linie von der vorgegebenen Rohstoffsituation eines Zementwerkes, d. h. der Zusammensetzung des Kalkstein- bzw. Mergelvorkommens ab.

In Tabelle 3-1 werden die im Jahr 2019 eingesetzten Rohstoffe aufgeführt. Ihrer chemischen Zusammensetzung entsprechend lassen sie sich in unterschiedliche Gruppen einteilen. Der Einsatz erfolgt hauptsächlich als Rohmaterialkomponente beim Klinkerbrennprozess. Hüttensand, ein geringer Teil des Kalksteins, Ölschiefer (in gebrannter Form) sowie Trass werden als Hauptbestandteile im Zement verwendet.

Die Zementindustrie bemüht sich, den Anteil anderer Bestandteile neben Klinker im Zement zu erhöhen. So können die Qualität des Produkts gezielt verändert, die Wirtschaftlichkeit der Herstellung verbessert, natürliche Ressourcen geschont sowie Stoffe aus anderen Prozessen im Sinne des deutschen Kreislaufwirtschafts- und Abfallgesetzes sinnvoll verwertet werden.

Als Stoffe, die Zementklinker im Zement ersetzen können, sind in Deutschland in erster Linie Hüttensand (granulierte Hochofenschlacke) und daneben Kalkstein von technischer Bedeutung. Hüttensand ist ein Produkt der Roheisenherstellung und wird zur Herstellung von Portlandhütten- und Hochofenzementen verwendet.

Der Bedarf an Sulfatträgern, mit denen die Verarbeitungseigenschaften der Zemente gesteuert werden, wird zu ca. 86 % durch natürlichen Gips und/oder Anhydrit gedeckt. Bei dem restlichen Anteil handelt es sich um Gips aus Rauchgasentschwefelungsanlagen.

**Tabelle 3-1** Rohstoffeinsatz 2019

**Table 3-1** Raw materials input in 2019

| Gruppe / Group | Rohstoff / Raw material  | Einsatz / Input quantity<br>1.000 t/a |
|----------------|--|---------------------------------------|
| Ca             | Kalkstein / Mergel / Kreide / Limestone / Marl / Chalk   | 39.544                                |
|                | Sonstige, wie: / Others, such as:<br>- Kalkschlämme aus der Trink- und Abwasseraufbereitung / Lime sludge from drinking water and sewage treatment<br>- Kalkhydrat / Hydrated lime<br>- Porenbetongranulat / Foam concrete granulates<br>- Calciumfluorid / Calcium fluoride   | 92                                    |
| Si             | Sand / Sand  | 1.107                                 |
|                | Gießereialsand / Used foundry sand   | 168                                   |
| Si-Al          | Ton / Clay   | 612                                   |
|                | Bentonit / Kaolinit / Bentonite / Kaolinite  | 29                                    |
| Fe             | Eisenerz / Iron ore  | 152                                   |
|                | Sonstige Einsatzstoffe aus der Eisen- und Stahlindustrie, wie: / Other input materials from the iron and steel industries, such as:<br>- Kiesabbrand / Roasted pyrite<br>- verunreinigtes Erz / Contaminated ore<br>- Eisenoxid-Flugasche-Gemisch / Iron oxide fly ash blends<br>- Stahlwerksstäube / Dusts from steel plants<br>- Walzzunder / Mill scale | 109                                   |
| Si-Al-Ca       | Hüttensand / Granulated blastfurnace slag  | 7.020                                 |
|                | Flugasche / Fly ash  | 257                                   |
|                | Ölschiefer / Oil shale   | 156                                   |
|                | Trass / Trass  | 36                                    |
|                | Sonstige, wie: / Others, such as:<br>- Papierreststoffe / Paper residuals<br>- Aschen aus Verbrennungsprozessen / Ashes from incineration processes<br>- Mineralische Reststoffe, z. B. ölverunreinigte Böden / Mineral residuals, e. g. soil contaminated by oil  | 52                                    |
| S              | Natürlicher Gips / Natural gypsum  | 867                                   |
|                | Natürlicher Anhydrit / Natural anhydrite   | 674                                   |
|                | Gips aus der Rauchgasentschwefelung / Gypsum from flue gas desulphurisation  | 220                                   |
| Al             | Einsatzstoffe aus der Metallindustrie, wie: / Input materials from the metal industry, such as:<br>- Aufbereitungsrückstände von Salzschlacken / Residues from reprocessing salt slag<br>- Aluminiumhydroxid / Aluminium hydroxide   | 50                                    |

Quellen / Sources: VDZ, Fachverband Eisenhüttenschlacken

### 3.2 Brennstoffe

Brennstoffenergie wird bei der Zementherstellung im Wesentlichen für das Brennen des Zementklinkers aufgewendet. In geringem Umfang wird thermische Energie auch für die Trocknung von Rohstoffen und weiteren Zementhauptbestandteilen, wie z. B. Hüttensand, eingesetzt. Die traditionellen Brennstoffe in der deutschen Zementindustrie sind seit Mitte der 70er-Jahre Steinkohle und Braunkohle, in geringem Umfang auch schweres Heizöl. Seit 1990 wird ein nennenswerter Teil der Kohle durch Petrolkoks ersetzt. Petrolkoks ist eine kohleähnliche Fraktion des Mineralöls, die bei der Rohölaufbereitung entsteht. Zum Anfahren des Ofens sowie für Trocknungsprozesse werden darüber hinaus leichtes und schweres Heizöl sowie Gas verwendet. Die Gesamtaufstellung der in der Zementindustrie eingesetzten Energieträger zeigt Tabelle 3-2 [1, 2].

Neben den fossilen Brennstoffen werden heutzutage in hohem Maße alternative Brennstoffe beim Klinkerbrennprozess eingesetzt. Ihr Anteil am gesamten Brennstoffenergieeinsatz der deutschen Zementindustrie betrug 68,9 % im Jahr 2019. Eine Aufstellung der eingesetzten alternativen Brennstoffe sowie deren durchschnittliche Heizwerte enthält Tabelle 3-3.

## 3 Input materials ■

### 3.1 Raw materials

Limestone or chalk and clay or their natural blend – lime marl – constitute the most important raw materials for the production of Portland cement clinker. Depending on the raw material situation at the location of a cement works, it may be necessary to add pure limestone, iron ore, sand or other corrective substances to the raw material mix in order to compensate for the lack of certain chemical constituents. Apart from natural raw materials, also alternative raw materials can be utilised, such as lime sludge, used foundry sand and fly ash. They contain silicon dioxide, aluminium oxide, iron oxide and/or calcium oxide as main constituents as well and are combined with the raw materials in quantities apt to ensure compliance with the clinker composition specified. The preconditions to be met by the material composition of an alternative raw material primarily depend on the raw material situation prevailing at a cement works, i.e. the composition of the limestone and marl deposits, respectively.

Table 3-1 lists the raw materials utilised in the year 2019. They can be classified into different groups, according to their chemical composition. Most of them are utilised as raw material components in the clinker burning process. Blastfurnace slag, a small proportion of the limestone, oil shale (burnt) and trass are used as main constituents of cement.

**Tabelle 3-2** Brennstoffenergieeinsatz nach Energieträgern  
**Table 3-2** Fuel energy consumption classified by energy sources

| Brennstoff / Fuel   |                          | 2010  | 2011  | 2012  | 2013  | 2014  | 2015  | 2016  | 2017  | 2018  | 2019  |
|---|--------------------------|-------|-------|-------|-------|-------|-------|-------|-------|-------|-------|
| Steinkohle / Coal   | Mio. GJ/a / million GJ/a | 9,0   | 10    | 9,8   | 7,8   | 8,9   | 8,1   | 8,3   | 8,2   | 7,9   | 7,3   |
|   | Anteil % / share %       | 10,2  | 10,6  | 10,4  | 8,7   | 9,6   | 9,0   | 9,1   | 8,4   | 8,2   | 7,6   |
| Braunkohle / Lignite  | Mio. GJ/a / million GJ/a | 20,7  | 23,7  | 22,3  | 19,7  | 19,5  | 18,7  | 18,9  | 20,5  | 19,2  | 18,1  |
|   | Anteil % / share %       | 23,5  | 25,1  | 23,7  | 21,8  | 21,1  | 20,8  | 20,8  | 21,2  | 20,0  | 18,9  |
| Petrolkoks / Petcoke  | Mio. GJ/a / million GJ/a | 3,3   | 2,1   | 3,2   | 3,2   | 4,1   | 3,4   | 3,2   | 3,5   | 2,7   | 2,4   |
|   | Anteil % / share %       | 3,8   | 2,2   | 3,4   | 3,5   | 4,4   | 3,7   | 3,6   | 3,7   | 2,8   | 2,5   |
| Heizöl S / Heavy fuel oil   | Mio. GJ/a / million GJ/a | 0,6   | 0,4   | 0,3   | 0,2   | 0,2   | 0,3   | 0,6   | 0,5   | 0,2   | 0,2   |
|   | Anteil % / share %       | 0,6   | 0,5   | 0,4   | 0,2   | 0,2   | 0,4   | 0,6   | 0,5   | 0,2   | 0,2   |
| Heizöl EL / Fuel oil  | Mio. GJ/a / million GJ/a | 0,3   | 0,2   | 0,7   | 1,2   | 0,7   | 0,7   | 0,6   | 0,7   | 0,7   | 0,7   |
|   | Anteil % / share %       | 0,3   | 0,2   | 0,7   | 1,3   | 0,8   | 0,8   | 0,6   | 0,7   | 0,7   | 0,7   |
| Erdgas und andere Gase /<br>Natural gas and other<br>gases            | Mio. GJ/a / million GJ/a | 0,1   | 0,2   | 0,2   | 0,3   | 0,5   | 0,4   | 0,5   | 0,5   | 0,6   | 0,7   |
|   | Anteil % / share %       | 0,1   | 0,2   | 0,2   | 0,4   | 0,5   | 0,5   | 0,6   | 0,5   | 0,6   | 0,7   |
| Sonstige fossile<br>Brennstoffe /<br>Other fossil fuels               | Mio. GJ/a / million GJ/a | 0,4   | 0,1   | 0,1   | 1,4   | < 0,1 | 0,3   | < 0,1 | < 0,1 | < 0,1 | 0,4   |
|   | Anteil % / share %       | 0,5   | 0,1   | 0,2   | 1,6   | < 0,1 | 0,3   | < 0,1 | < 0,1 | < 0,1 | 0,4   |
| Fossile Brennstoffe<br>gesamt /<br>Total fossil fuels                 | Mio. GJ/a / million GJ/a | 34,4  | 36,7  | 36,6  | 33,8  | 33,9  | 31,9  | 32,1  | 33,9  | 31,2  | 29,9  |
|   | Anteil % / share %       | 39,0  | 38,9  | 39,0  | 37,5  | 36,6  | 35,4  | 35,2  | 35,0  | 32,5  | 31,1  |
| Alternative Brennstoffe<br>gesamt /<br>Total alternative fuels        | Mio. GJ/a / million GJ/a | 53,7  | 57,7  | 57,3  | 56,6  | 58,6  | 58,2  | 59,1  | 63,0  | 64,8  | 66,1  |
|   | Anteil % / share %       | 61,0  | 61,1  | 61,0  | 62,5  | 63,4  | 64,6  | 64,8  | 65,0  | 67,5  | 68,9  |
| Thermische Energie<br>gesamt /<br>Total thermal energy<br>consumption | Mio. GJ/a / million GJ/a | 88,1  | 94,4  | 93,9  | 90,4  | 92,5  | 90,1  | 91,2  | 96,9  | 96,0  | 96,0  |
|   | Anteil % / share %       | 100,0 | 100,0 | 100,0 | 100,0 | 100,0 | 100,0 | 100,0 | 100,0 | 100,0 | 100,0 |

**Tabelle 3-3** Einsatz und durchschnittliche Heizwerte alternativer Brennstoffe 2019**Table 3-3** Used quantity and average calorific value of alternative fuels in 2019

| Alternative Brennstoffe /<br>Alternative fuel   | 1.000 t | MJ/kg |
|---|---------|-------|
| Altreifen / Waste tyres   | 175     | 28    |
| Altöl / Waste oil   | 70      | 29    |
| Fraktionen aus Industrie-/Gewerbe-<br>abfällen / Fractions of industrial<br>and commercial waste: |         |       |
| - Zellstoff, Papier und Pappe /<br>Pulp, paper and cardboard                                      | 79      | 5     |
| - Kunststoff / Plastics   | 806     | 24    |
| - Verpackungen / Packaging  | –       | –     |
| - Abfälle aus der Textilindustrie /<br>Wastes from the textile industry                           | 6       | 31    |
| - Sonstige / Others   | 1.151   | 21    |
| Tiermehle und -fette / Meat and<br>bone meal and animal fat                                       | 164     | 18    |
| Aufbereitete Fraktionen aus Sied-<br>lungsabfällen / Mixed fractions of<br>municipal waste        | 370     | 18    |
| Altholz / Waste wood  | 1       | 15    |
| Lösungsmittel / Solvents  | 129     | 26    |
| Bleicherde / Fuller's earth   | –       | –     |
| Klärschlamm / Sewage sludge   | 703     | 2     |
| Sonstige, wie: / Others, such as:   | 140     | 5     |
| - Ölschlamm / Oil sludge  |         |       |
| - Organische Destillations-<br>rückstände /<br>Organic distillation residues                      |         |       |

Quelle / Source: VDZ

The cement industry is making efforts to increase the share in the cement of constituents other than clinker. This allows to modify the quality of the product purposefully, to improve the economic efficiency of the manufacturing process, to conserve natural resources, and to utilise materials generated by other processes in a useful manner, as stipulated by the German Waste Management and Recycling Act.

The materials, having industrial importance as potential substitutes for cement clinker in the cement in Germany, are chiefly (granulated) blastfurnace slag and also limestone. Blastfurnace slag is a spin-off of pig iron production and is used in the manufacture of Portland slag and blastfurnace cements.

Natural gypsum and/or anhydrite cover about 86 % of the demand for sulphate agents, which serve to adjust the working properties of the cements. Gypsum from flue gas desulphurisation accounts for the remaining share.

### 3.2 Fuels

Cement clinker burning uses up most of the fuel energy consumed in cement manufacture. To a lesser extent thermal energy is also used for drying raw materials and other major cement constituents, such as granulated blastfurnace slag. Since the mid-1970ies, the traditional fuels of the German cement industry have been coal and lignite and, on a smaller scale, also heavy fuel oil. A significant portion of coal has been replaced by petcoke since the 1990ies. Petcoke is a coal-like fraction of mineral oil generated in crude oil processing. In addition to that, light and heavy fuel oil and gas are used for kiln start-up and drying processes. Table 3-2 lists all the energy sources exploited in the German cement industry [1, 2].

Apart from fossil fuels, the use of alternative fuels in the clinker burning process is gaining in importance nowadays. Alternative fuels accounted 68.9 % of the total fuel energy demand of the German cement industry in 2019. Table 3-3 lists the alternative fuels utilised and their average calorific values.

## 4 Energie ■

Zur Herstellung einer Tonne Zement wurden in Deutschland 2019 durchschnittlich 2.772 MJ Brennstoffenergie und 111,9 kWh elektrische Energie eingesetzt (Tabellen 4-1 und 4-2). Brennstoffenergie wird im Wesentlichen für das Brennen des Klinkers benötigt; elektrische Energie wird vor allem für die Rohmaterialaufbereitung (ca. 25 %), für das Brennen und Kühlen des Klinkers (ca. 24 %) und für die Mahlung der Zemente (ca. 46 %) verwendet.

Die Entwicklung des spezifischen Energieeinsatzes in der Zementindustrie ist in Bild 4-1 dargestellt.

Nach 1990 hat u.a. die Modernisierung der Zementwerke in den neuen Bundesländern zu einer Abnahme des spezifischen Brennstoffenergieeinsatzes beigetragen. Bezogen auf die Tonne Zement liegt er seit vielen Jahren zwischen 2.700 und 3.000 MJ.

Der Anteil der alternativen Brennstoffe am Energieeinsatz konnte in den letzten 20 Jahren deutlich gesteigert werden. Dadurch nahm der Einsatz wertvoller fossiler Brennstoffe, wie vor allem Stein- und Braunkohle, stetig ab und macht heute nur noch etwa 26 % des Brennstoffenergieeinsatzes aus. Die hohe Energieeffizienz des Zementherstellungsprozesses wurde dadurch nicht beeinflusst [3, 5, 6].

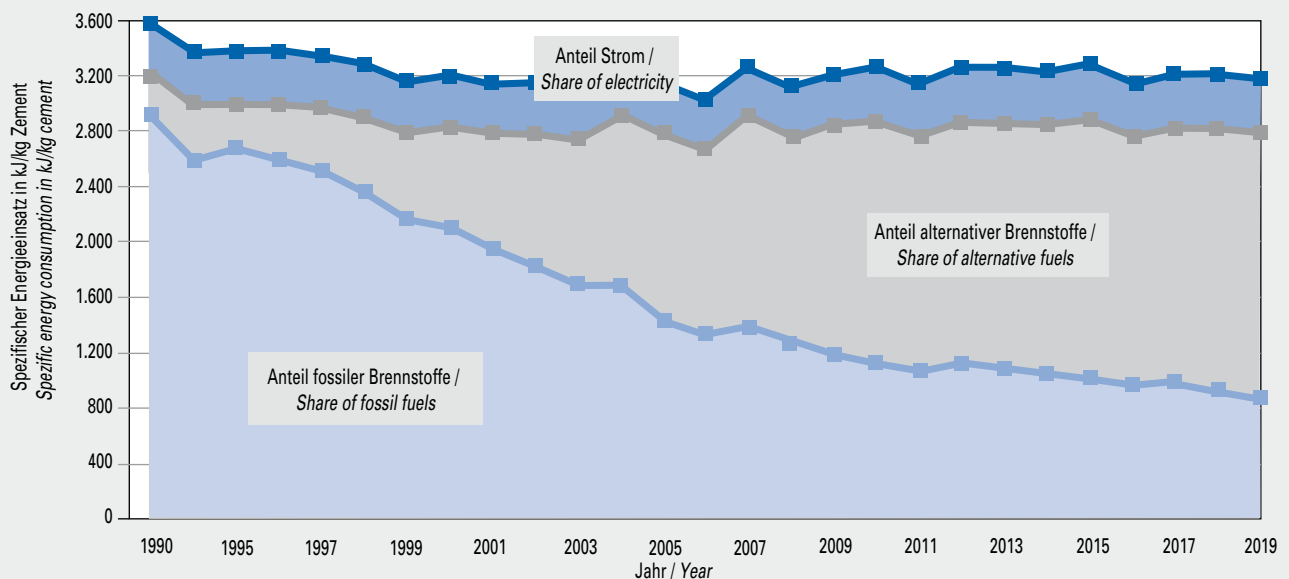
Höhere Anforderungen an die Produktqualität sowie Maßnahmen zur Verbesserung des Umweltschutzes waren die wesentlichen Ursachen für den tendenziell steigenden elektrischen Energieeinsatz der letzten Jahrzehnte (Bild 4-2). Nach einigen Jahren der Stabilisierung, zu der u. a. Verbesserungen in der Mahltechnik beitrugen, stieg der spezifische elektrische Energiebedarf in den letzten Jahren wieder an. Wesentlicher Grund hierfür ist der gestiegene Bedarf an fein aufgemahlten leistungsstarken Zementen in der Baustoffindustrie.

**Tabelle 4-1** Absoluter und spezifischer thermischer Brennstoffenergieeinsatz

**Table 4-1** Absolute and specific thermal fuel energy consumption

| Jahr / Year | Thermischer Brennstoffenergieeinsatz<br>Thermal fuel energy consumption |  |
|-------------|---|--|
|             | absolut in Mio. GJ/a<br>Absolute in million GJ/a                        | spezifisch in MJ/t Zement<br>Specific in MJ/t cement |
| 1996        | 97,6  | 2.995  |
| 1997        | 99,3  | 2.975  |
| 1998        | 100,7   | 2.905  |
| 1999        | 102,3   | 2.800  |
| 2000        | 99,3  | 2.835  |
| 2001        | 89,8  | 2.790  |
| 2002        | 85,8  | 2.790  |
| 2003        | 91,3  | 2.740  |
| 2004        | 94,9  | 2.920  |
| 2005        | 88,7  | 2.785  |
| 2006        | 92,1  | 2.674  |
| 2007        | 99,5  | 2.915  |
| 2008        | 95,8  | 2.764  |
| 2009        | 88,2  | 2.848  |
| 2010        | 88,1  | 2.874  |
| 2011        | 94,4  | 2.759  |
| 2012        | 93,9  | 2.866  |
| 2013        | 90,4  | 2.857  |
| 2014        | 92,5  | 2.849  |
| 2015        | 90,1  | 2.869  |
| 2016        | 91,2  | 2.763  |
| 2017        | 96,9  | 2.824  |
| 2018        | 96,0  | 2.804  |
| 2019        | 96,0  | 2.772  |

Quelle / Source: VDZ



**Bild 4-1** Entwicklung des spezifischen Energieeinsatzes  
**Fig. 4-1** Development of the specific fuel energy consumption

**Tabelle 4-2** Absoluter und spezifischer elektrischer Energieeinsatz  
**Table 4-2** Absolute and specific electrical power consumption

| Jahr /<br>Year | Elektrischer Energieeinsatz<br>Electrical power consumption |  |
|----------------|---|--|
|                | absolut in Mio. MWh/a<br>Absolute in million<br>MWh/a       | spezifisch in kWh/t Zement<br>Specific in kWh/t cement |
| 1996           | 3,50  | 107,4  |
| 1997           | 3,47  | 103,9  |
| 1998           | 3,63  | 104,7  |
| 1999           | 3,73  | 102,0  |
| 2000           | 3,55  | 101,5  |
| 2001           | 3,21  | 99,8   |
| 2002           | 3,17  | 103,0  |
| 2003           | 3,32  | 99,5   |
| 2004           | 3,32  | 102,1  |
| 2005           | 3,24  | 101,9  |
| 2006           | 3,42  | 99,4   |
| 2007           | 3,40  | 99,7   |
| 2008           | 3,43  | 99,0   |
| 2009           | 3,15  | 101,8  |
| 2010           | 3,37  | 109,8  |
| 2011           | 3,74  | 109,4  |
| 2012           | 3,63  | 110,8  |
| 2013           | 3,49  | 110,0  |
| 2014           | 3,57  | 110,0  |
| 2015           | 3,49  | 111,2  |
| 2016           | 3,62  | 109,8  |
| 2017           | 3,77  | 110,0  |
| 2018           | 3,78  | 110,9  |
| 2019           | 3,85  | 111,9  |

Quelle / Source: VDZ

## 4 Energy ■

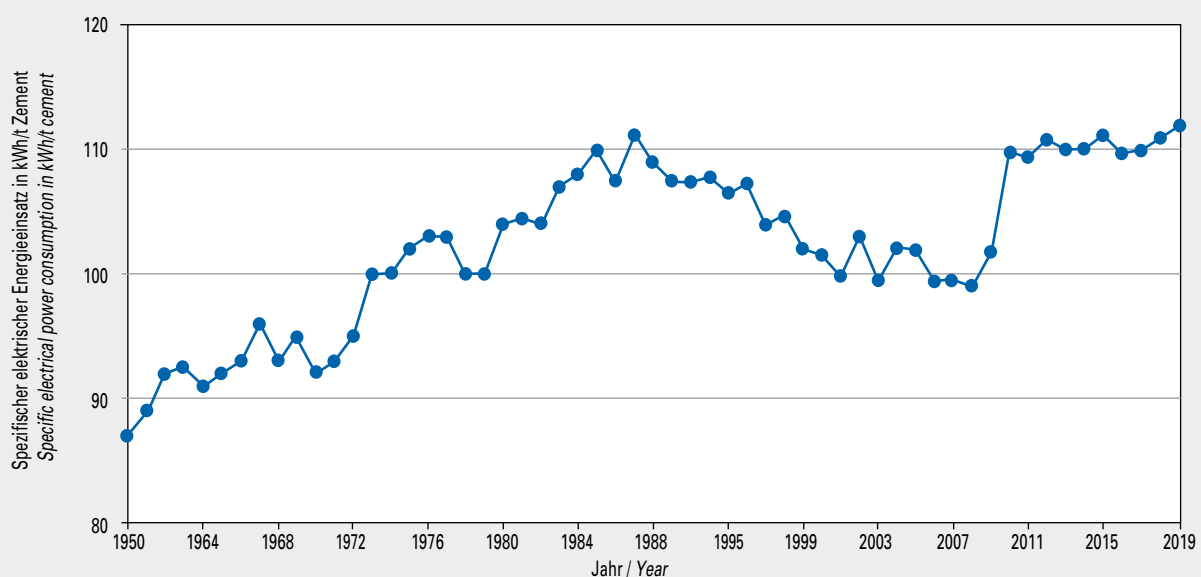
In Germany, the production of one tonne of cement consumed an average of 2,772 MJ fuel energy and 111.9 kWh electrical energy in 2018 (Tables 4-1 and 4-2). Fuel energy is primarily required for clinker burning, while electrical energy is chiefly used for raw material pre-treatment (about 25 %), for burning and cooling the clinker (about 24 %) and for cement grinding (about 46 %).

The development of the specific energy consumption in the cement industry is shown in Figure 4-1.

After 1990 inter alia the modernisation of the cement works in the newly formed German States resulted in a decrease in specific fuel energy consumption. After that the cement specific fuel energy consumption was stabilized in the range of 2,700 to 3,000 MJ/t cement.

During the last 20 years the use of alternative fuels could be increased significantly. Therefore, the use of fossil fuels, especially hard coal and lignite, decreased continuously. As a result appr. 25 % of the fuel energy consumption is covered by fossil fuels today. The high energy efficiency of the cement production process was not affected by this substitution [3, 5, 6].

More demanding specifications for product quality and measures aimed at improving environmental protection were the major causes for the upward tendency in electrical power demand over the past decades (Fig. 4-2). After several years of stabilization, in particular due to improvements in grinding technologies, in the last years a noticeable increase of the specific electrical energy demand has been observed. The major reason for that is the increased demand of finely ground high performance cements within the building and construction industry.



**Bild 4-2** Entwicklung des spezifischen elektrischen Energieeinsatzes (Berücksichtigung der neuen Bundesländer seit 1987)  
**Fig. 4-2** Development of the specific electrical power consumption (New Federal States included since 1987)

## 5 Emissionen ■

In Deutschland unterliegen die Errichtung und der Betrieb von Zementwerken den Bestimmungen des Bundes-Immissionschutzgesetzes. Je nach Brennstoffeinsatz werden unterschiedliche Anforderungen an die einzuhaltenen Emissionskonzentrationen gestellt. Falls ausschließlich Regelbrennstoffe eingesetzt werden, sind die Regelungen der Technischen Anleitung zur Reinhaltung der Luft (TA Luft) maßgeblich. Wird ein Teil der Regelbrennstoffe durch Abfälle als alternative Brennstoffe ersetzt, so gelten zusätzlich die Bestimmungen der 17. Verordnung zum Bundes-Immissionschutzgesetz (17. BImSchV). Auf dieser gesetzlichen Basis kann die zuständige Behörde sowohl Messungen aus besonderem Anlass als auch erstmalige und wiederkehrende Messungen anordnen, die nur von zugelassenen Messstellen durchgeführt werden dürfen.

Zur Bestimmung der Emissionen von Zementwerken stehen sowohl kontinuierliche als auch diskontinuierliche Messverfahren zur Verfügung, die in entsprechenden VDI-Richtlinien und DIN-Normen beschrieben sind (Tabelle 5-1). Kontinuierlich werden hauptsächlich Staub, Stickoxide ( $\text{NO}_x$ ), Schwefeldioxid ( $\text{SO}_2$ ), Quecksilber (Hg) und Ammoniak ( $\text{NH}_3$ ) sowie vermehrt die Summe organischer Verbindungen gemessen; die anderen immissionsrechtlich relevanten Parameter werden in der Regel diskontinuierlich auf der Basis von Einzelmessungen bestimmt.

Die in diesem Kapitel dargestellten Messergebnisse [3] beruhen auf den gesetzlich vorgeschriebenen Emissionsmessungen an Drehofenanlagen der deutschen Zementindustrie. Kontinuierlich gemessene Emissionen wurden dabei in Jahresmittelwerte umgerechnet. Im Fall von diskontinuierlich gemessenen Emissionen werden Werte aus den jeweiligen Einzelmessungen angegeben. Sämtliche Messwerte sind auf ein Kubikmeter ( $\text{m}^3$ ) trockenes Abgas im Normzustand mit einem Sauerstoffgehalt von 10 % bezogen.

Aufgrund von Änderungen in den normativen Anforderungen zur Darstellung der Messergebnisse diskontinuierlich bestimmter Parameter werden sogenannte Feldblindwerte als kleinste darstellbare Konzentrationen ausgewiesen. Auf die bislang erfolgte Darstellung von Bestimmungsgrenzen wird deshalb verzichtet.

**Tabelle 5-1** Messverfahren für Emissionen

**Table 5-1** Emission measuring methods

| Messobjekt / Object of measurement   | Norm, Richtlinie / Standard, guideline |
|--|--|
| Gesamtstaub / Total dust   | DIN EN 13284-1                         |
| Schwermetalle / Heavy metals   | DIN EN 13211, 14385                    |
| Schwefeloxide / Sulphur oxides   | DIN EN 14791                           |
| Stickstoffoxide / Nitrogen oxides  | DIN EN 14792                           |
| Kohlenstoffmonoxid / Carbon monoxide   | DIN EN 15058                           |
| Gasförmige anorganische Chlorverbindungen / Gaseous inorganic chlorine compounds | DIN EN 1911                            |
| Gasförmige anorganische Fluorverbindungen / Gaseous inorganic fluorine compounds | VDI 2470, Blatt 1                      |
| Dioxine, Furane / Dioxins, furans  |  |
| - Probenahme / Sampling  | DIN EN 1948, Teil 1                    |
| - Analyse / Analysis   | DIN EN 1948, Teil 2 - 3                |
| Polycyclische aromatische Kohlenwasserstoffe / Polycyclic aromatic hydrocarbons  | VDI 3874                               |
| Polychlorierte Biphenyle / Polychlorinated biphenyls                             | DIN EN 1948, Teil 4                    |
| Organisch gebundener Kohlenstoff / Total gaseous organic carbon                  | DIN EN 12619                           |
| Benzol, Toluol, Ethylbenzol, Xylol / Benzene, toluene, ethylbenzene, xylene      | DIN EN 13649                           |

## 5 Emissions ■

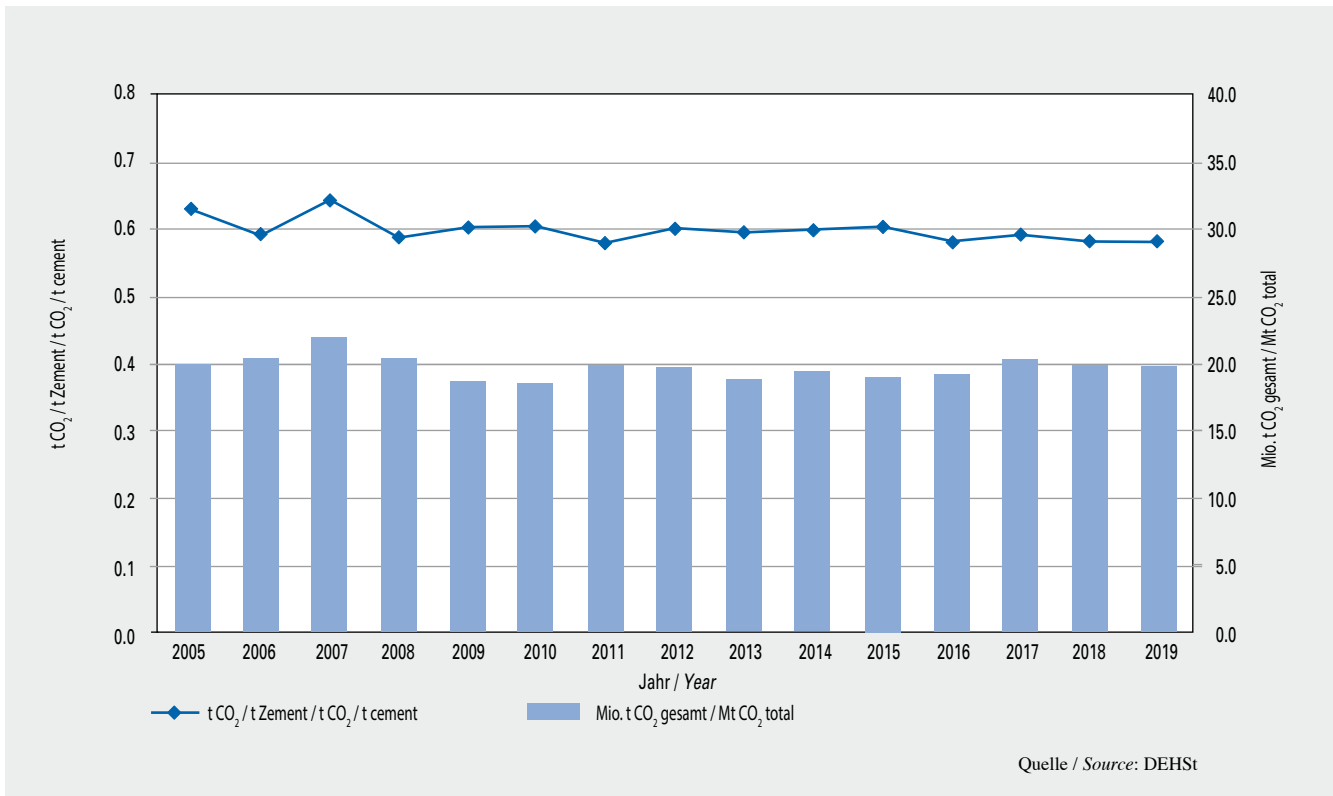
In Germany, the erection and operation of cement works are subject to the provisions of the Federal Ambient Pollution Protection Act. Depending on the type of fuel utilised, different specifications for the emission concentrations to be complied with are laid down. If standard fuels are used exclusively, the regulations of the Clean Air Act (TA Luft) are decisive. If a proportion of the standard fuels is replaced by waste used as alternative fuels, the provisions of the German regulation on waste incineration (17<sup>th</sup> BImSchV) apply additionally. Proceeding from this legal basis, the competent authorities can order both measurements for special reasons and first-time and recurrent measurements to be carried out by accredited measuring bodies only.

Emissions from cement works can be determined both by continuous and discontinuous measuring methods, which are described in corresponding VDI guidelines and DIN standards (Table 5-1). Continuous measurement is primarily used for dust,  $\text{NO}_x$ ,  $\text{SO}_2$ , Hg and  $\text{NH}_3$  as well as more and more total organic carbon (TOC), while the remaining parameters relevant to ambient pollution legislation are usually determined discontinuously by individual measurements.

The measurement results [3] presented in this chapter are based on the emission measurements at the rotary kiln plants of the German cement industry required by law. The emissions measured continuously were converted to annual averages. In the case of emissions measured discontinuously, the values are derived from the respective individual measurements. All measured values relate to  $1 \text{ m}^3$  of dry gas under standard conditions with an oxygen content of 10 %.

Due to regulatory changes in corresponding standards, so-called field blank values (as the smallest representative concentration for parameters that are measured discontinuously) are shown. The previous presentation of quantification limits is no longer used.





**Bild 5-1** Direkte CO<sub>2</sub>-Emissionen der Zementindustrie  
**Fig. 5-1** Direct CO<sub>2</sub> emissions by the cement industry

### 5.1 Treibhausgase / Kohlenstoffdioxid (CO<sub>2</sub>)

Beim Klinkerbrennprozess werden klimarelevante Gase emittiert. Dies ist fast ausschließlich CO<sub>2</sub>. Andere klimarelevante Gase, wie z. B. Distickstoffmonoxid (N<sub>2</sub>O) oder Methan (CH<sub>4</sub>), werden nur in sehr geringem Maße emittiert. CO<sub>2</sub>-Emissionen sind sowohl rohstoff- als auch energiebedingt. Rohstoffbedingte CO<sub>2</sub>-Emissionen entstehen bei der Entsäuerung des Kalksteins und haben einen Anteil von etwa 60 % an den CO<sub>2</sub>-Gesamtemissionen. Energiebedingte Emissionen entstehen sowohl direkt bei der Verbrennung der Brennstoffe als auch indirekt durch den Einsatz von elektrischer Energie. In Bild 5-1 ist die Entwicklung der direkten CO<sub>2</sub>-Emissionen dargestellt.

Am 01.01.2005 wurde in der EU ein Handelssystem für CO<sub>2</sub>-Emissionen eingeführt. Der Emissionshandel erstreckt sich auf die direkten CO<sub>2</sub>-Emissionen aus der Verbrennung aller Brennstoffe (ohne biogene Anteile) und der Entsäuerung des Kalksteins.

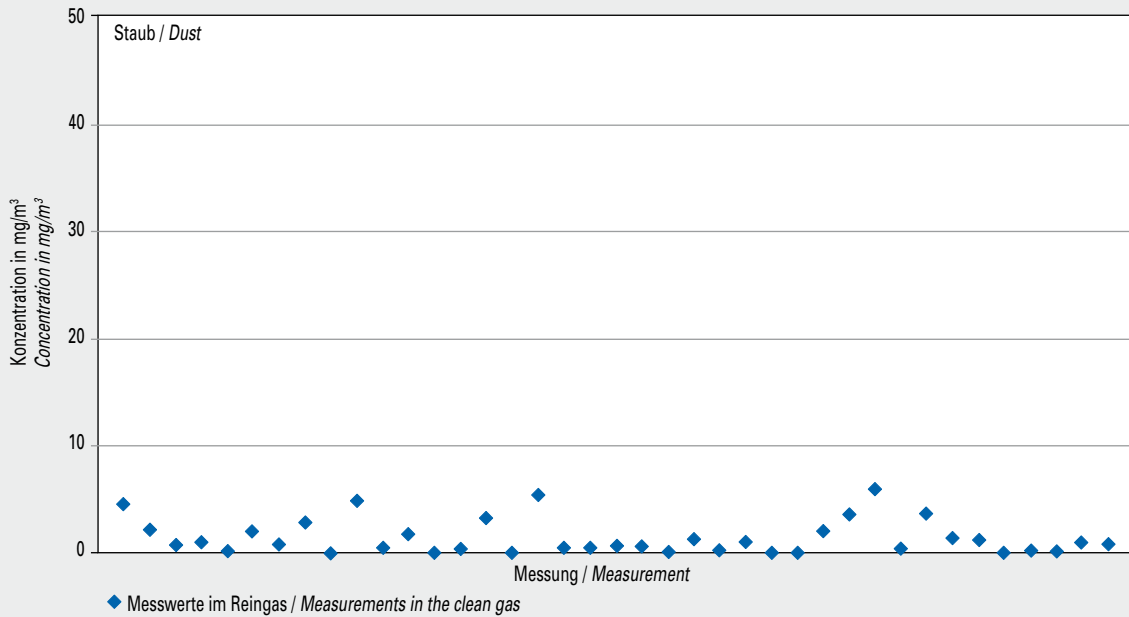
### 5.1 Greenhouse gases / carbon dioxide (CO<sub>2</sub>)

During the clinker burning process greenhouse gases are emitted. This is almost entirely CO<sub>2</sub>. Other greenhouse gases, such as dinitrogen monoxide (N<sub>2</sub>O) or methane (CH<sub>4</sub>), are emitted in very small quantities only.

CO<sub>2</sub> emissions are both raw material-related and energy-related. Raw material-related emissions are produced during limestone decarbonation (CaCO<sub>3</sub>) and account for about 60 % of total CO<sub>2</sub> emissions. Energy-related emissions are generated both directly through fuel combustion and indirectly through the use of electrical power. Figure 5-1 depicts the development of direct CO<sub>2</sub> emissions.

On January 1, 2005 a trading system for CO<sub>2</sub> emissions was introduced in the EU. Direct CO<sub>2</sub> emissions from the combustion of all fuels (without biogenous compounds) and decarbonation of limestone are covered by this trading system.





**Bild 5-2** Mittelwerte (Jahr 2019) der Konzentration von Staub im Reingas von 39 Drehofenanlagen  
**Fig. 5-2** Average (year 2019) dust concentrations in the clean gas of 39 rotary kilns

## 5.2 Staub

Für die Erzeugung von 1 Tonne Portlandzement müssen während der Produktion ca. 1,5 bis 1,7 Tonnen Rohmaterialien, bis zu 0,15 Tonnen Kohle sowie 0,95 Tonnen Klinker staubfein gemahlen werden. Wesentliche Emissionsquellen für die staubförmigen Komponenten liegen dabei in den Bereichen der Aufbereitung des Rohmaterials und der Brennstoffe, des Klinkerbrennprozesses sowie der Zementmahlung. Während es in den 1950er-Jahren am Kamin von Drehofenanlagen noch zu Staubemissionen von bis zu 3.000 mg/m<sup>3</sup> kam, sind diese heute in Deutschland auf 10 mg/m<sup>3</sup> begrenzt. Bild 5-2 zeigt 39 Jahresmittelwerte der Konzentration von Staub aus kontinuierlicher Überwachung im Reingas von 39 Drehofenanlagen.

## 5.3 Stickstoffoxide (NO<sub>x</sub>)

Der Klinkerbrennprozess ist ein Hochtemperaturprozess, bei dem Stickstoffoxide (NO<sub>x</sub>) entstehen. Im Abgas von Drehofenanlagen liegen sie zu einem Anteil von etwa 95 % in Form von Stickstoffmonoxid (NO) und zu etwa 5 % als Stickstoffdioxid (NO<sub>2</sub>) vor. Da NO in der Atmosphäre weitgehend zu NO<sub>2</sub> umgewandelt wird, werden die Emissionen als NO<sub>2</sub> pro m<sup>3</sup> Abgas angegeben.

Die prozessbedingten NO<sub>x</sub>-Gehalte im Abgas von Drehofenanlagen würden ohne Minderungsmaßnahmen in den meisten Fällen die heute gültige Vorgabe der europäischen Industrieemissionsrichtlinie von 0,50 g/m<sup>3</sup> deutlich übersteigen.

## 5.2 Dust

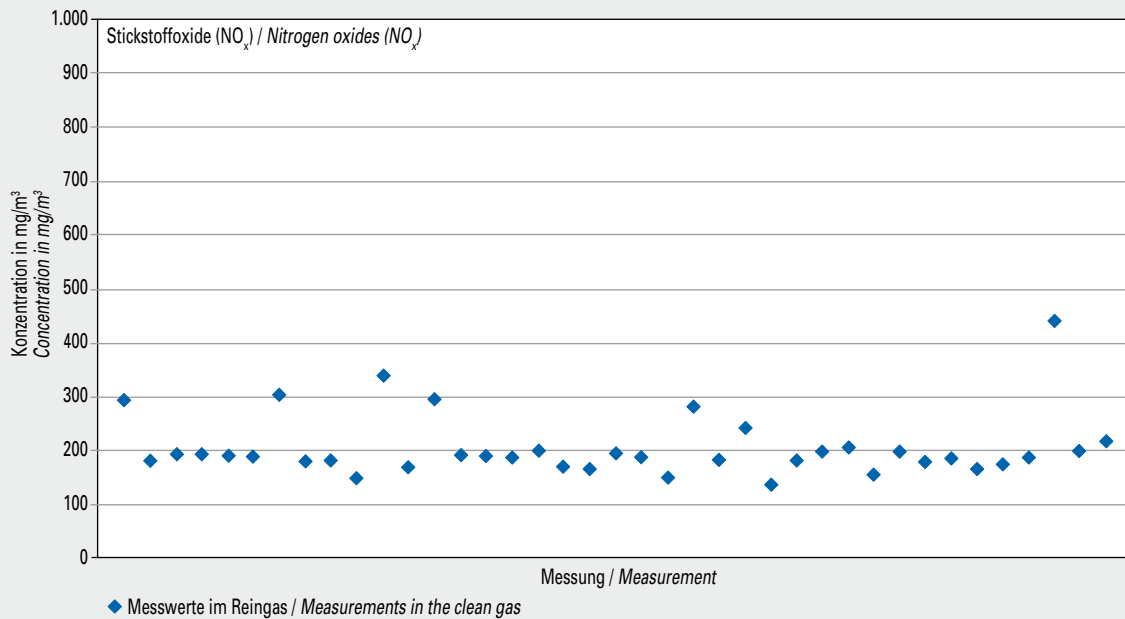
To manufacture 1 t of Portland cement, about 1.5 to 1.7 t raw materials, up to 0.15 t coal and 0.95 t clinker must be ground to dust fineness during production. In this process, the steps of raw material preparatory processing, fuel preparation, clinker burning and cement grinding constitute major emission sources for particulate components. While particulate emissions of up to 3,000 mg/m<sup>3</sup> were measured at the stack of cement rotary kiln plants as recently as in the 1950ies, these are limited in Germany to 10 mg/m<sup>3</sup> today.

Figure 5-2 shows 39 annual average values of dust concentrations from continuous monitoring in the clean gas of 39 rotary kilns.

## 5.3 Nitrogen oxides (NO<sub>x</sub>)

The clinker burning process is a high-temperature process resulting in the formation of nitrogen oxides (NO<sub>x</sub>). Nitrogen monoxide (NO) accounts for about 95 %, and nitrogen dioxide (NO<sub>2</sub>) for about 5 % of this compound present in the exhaust gas of rotary kiln plants. As most of the NO is converted to NO<sub>2</sub> in the atmosphere, emissions are given as NO<sub>2</sub> per m<sup>3</sup> exhaust gas.

Without reduction measures, process-related NO<sub>x</sub> contents in the exhaust gas of rotary kiln plants would considerably exceed the current specifications of the European Industry Emissions Directive of 0.50 g/m<sup>3</sup>.



**Bild 5-3** Mittelwerte (Jahr 2019) der Konzentration von Stickstoffoxiden ( $\text{NO}_x$ ) im Reingas von 39 Drehofenanlagen  
**Fig. 5-3** Average nitrogen oxides ( $\text{NO}_x$ ) concentrations (year 2019) in the clean gas of 39 rotary kilns

Primäre Minderungsmaßnahmen betreffen eine Vergleichmäßigung und Optimierung des Anlagenbetriebs. Darüber hinaus wurden erhebliche Anstrengungen unternommen, um auf verschiedene Weise die anspruchsvollen  $\text{NO}_x$ -Grenzwerte einhalten zu können. In 2019 wurden 13 Anlagen mit gestufter Verbrennung und 28 Anlagen mit SNCR-Verfahren (SNCR = selektive nicht-katalytische Reduktion) betrieben. Weiterhin sind 17 Anlagen mit SCR-Technologie (SCR = selektive katalytische Reduktion) in Betrieb (Stand: 31.12.2019), darunter zwei DeCONO<sub>x</sub>-Anlagen.

Um das Rohstoffgemisch in Portlandzementklinker umzuwandeln, sind hohe Prozesstemperaturen erforderlich. In der Sinterzone des Drehofens betragen die Brennguttemperaturen etwa 1.450 °C. Um sie zu erreichen, sind Flammentemperaturen von ca. 2.000 °C erforderlich.

Aus Gründen der Klinkerqualität findet der Brennvorgang unter oxidierenden Bedingungen statt. Unter diesen Voraussetzungen überwiegt die partielle Oxidation des molekularen Stickstoffs der Verbrennungsluft zu Stickstoffmonoxid, die auch als thermische NO-Bildung bezeichnet wird.

Die thermische NO-Bildung ist bei den niedrigeren Temperaturen in einer Ofeneinlauf- oder Calcinatorfeuerung hingegen kaum von Bedeutung: Hier kann der im Brennstoff gebundene Stickstoff zum sogenannten brennstoffbedingten NO führen.

Bild 5-3 zeigt 39 Jahresmittelwerte der Konzentration von Stickstoffoxiden ( $\text{NO}_x$ ) aus kontinuierlicher Überwachung im Reingas von 39 Drehofenanlagen.

#### 5.4 Ammoniak ( $\text{NH}_3$ )

Emissionen von Ammoniak können beim Klinkerbrennprozess zum einen durch Ausgasen und Verdampfen ammoniumhaltiger Verbindungen in den Rohmaterialien entstehen. Zum anderen kann der Einsatz des SNCR-Verfahrens, bei dem eine ammoniakalische Lösung im Steigschacht bzw. Calcinator der Ofenanlage

Primary reduction measures are aimed at smoothing and optimizing plant operation. Furthermore, considerable efforts were made to achieve compliance with the demanding  $\text{NO}_x$  values in different ways. In 2019, 13 plants were equipped with staged combustion, and the SNCR technique (SNCR = selective non-catalytic reduction) was applied to 28 plants. Furthermore 17 plants with SCR technology (SCR = selective catalytic reduction) are in operation (as of December 31<sup>st</sup>, 2019), including two DeCONO<sub>x</sub> plants.

High process temperatures are required to convert the raw material mix to Portland cement clinker. Kiln charge temperatures in the sintering zone of rotary kilns range at around 1,450 °C. To reach these flame temperatures about 2,000 °C are necessary.

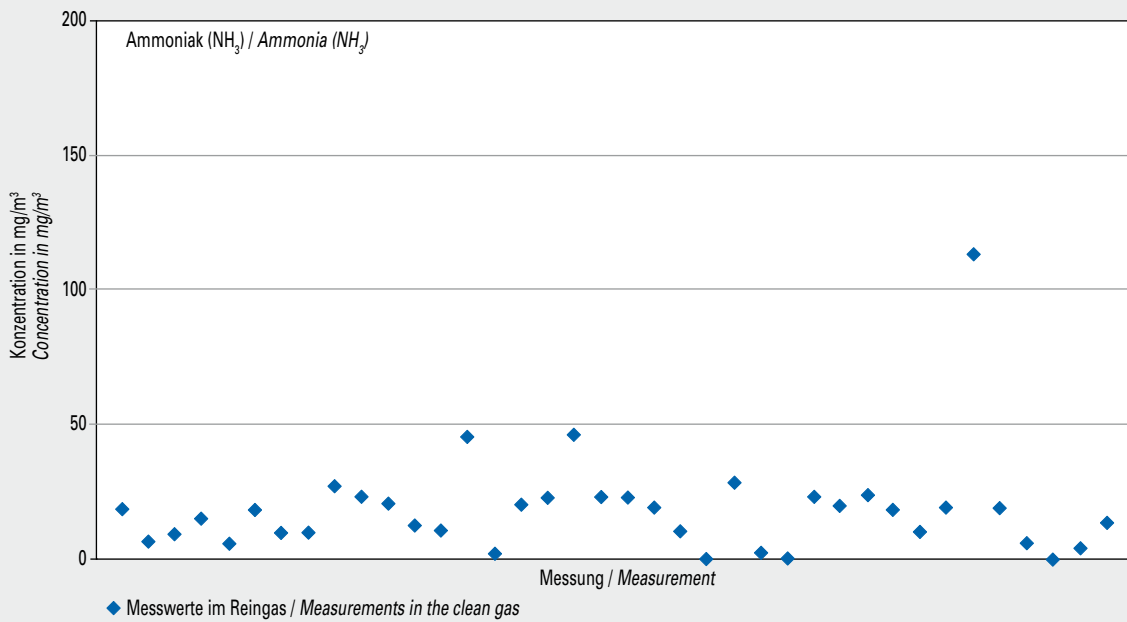
For reasons of clinker quality the burning process takes place under oxidising conditions under which the partial oxidation of the molecular nitrogen in the combustion air resulting in the formation of nitrogen monoxide dominates. This reaction is also called thermal NO formation.

At the lower temperatures prevailing in a kiln inlet or calciner firing unit, however, thermal NO formation is negligible: here the nitrogen bound in the fuel can result in the formation of what is known as fuel-related NO.

Figure 5-3 shows 39 annual average values of nitrogen oxides ( $\text{NO}_x$ ) concentrations from continuous monitoring in the clean gas of 39 rotary kilns.

#### 5.4 Ammonia ( $\text{NH}_3$ )

Ammonia ( $\text{NH}_3$ ) emissions can occur from the clinker burning process on the one hand by the outgassing and vaporizing of ammonium-containing compounds in the raw materials. On the other hand, when using SNCR technology an ammonia-containing solution is injected into the riser duct or calciner of a cement kiln system. This can lead to a  $\text{NH}_3$  slip if the conversion of the reducing agent is not complete.



**Bild 5-4** Mittelwerte (Jahr 2019) der Konzentration von Ammoniak (NH<sub>3</sub>) im Reingas von 38 Drehofenanlagen.  
**Fig. 5-4** Average ammonia (NH<sub>3</sub>) concentration values (year 2019) in the clean gas of 38 rotary kilns

eingedüst wird, zu einem gewissen NH<sub>3</sub>-Schlupf führen, wenn die Umsetzung des Reduktionsmittels nicht vollständig ist.

Die rohstoffbedingten Ammoniakemissionen variieren zum Teil signifikant von Werk zu Werk bzw. Steinbruch zu Steinbruch sowie auch innerhalb eines Steinbruches. Bei der NO<sub>x</sub>-Minderung mit dem SNCR-Verfahren spielen verschiedene prozesstechnische Parameter, wie die Temperatur an der Eindüsestelle, die Verweilzeit für die Reaktion mit Stickstoffmonoxid sowie die erforderliche NO<sub>x</sub>-Minderung, eine Rolle, inwiefern NH<sub>3</sub> als Schlupf den Vorwärmer verlässt.

Im Abgasweg wird Ammoniak vor allem in der Rohmühle wieder eingebunden und mit dem Ofenmehl wieder zum Prozess zurückgeführt. Im Direktbetrieb der Ofenanlage (Stillstand der Rohmühle) entfällt diese Einbindung und i.d.R. treten höhere Ammoniakemissionen auf als im Verbundbetrieb. Bei Verwendung der SCR-Technologie zur NO<sub>x</sub>-Minderung in der High-Dust-Variante (Installation des Katalysators nach Vorwärmer) kann NH<sub>3</sub>, das den Vorwärmer mit dem Rohgas verlässt, als Reduktionsmittel genutzt und somit die Eindüsung von Ammoniaklösung reduziert werden.

Bild 5.4 zeigt 38 Jahresmittelwerte der Konzentration von Ammoniak (NH<sub>3</sub>) aus kontinuierlicher Überwachung im Reingas von 38 Drehofenanlagen.

Raw material-related ammonia emissions vary significantly from plant to plant, from quarry to quarry and within a quarry. If SNCR technology is applied for NO<sub>x</sub> abatement, different process parameters like the temperature at the injection location, the residence time available for the reaction with nitrogen oxide and the required NO<sub>x</sub> reduction have an impact on the ammonia slip from the preheater.

In the exhaust gas path, ammonia is mainly bound in the raw mill and is re-routed back to the process with the kiln feed. In direct operation of the kiln system (raw mill-off) this binding does not occur and normally higher NH<sub>3</sub> emissions occur compared to raw mill-on operation. When using High Dust-SCR technology (SCR catalyst installed after the preheater), ammonia leaving the preheater with the exhaust gas can be utilised as a reducing agent and the ammonia injection can be reduced.

Figure 5.4 shows 38 annual average values of ammonia (NH<sub>3</sub>) concentration from continuous monitoring in the clean gas of 38 rotary kilns.

### 5.5 Schwefeldioxid (SO<sub>2</sub>)

Schwefel wird dem Klinkerprozess über die Roh- und Brennstoffe zugeführt. In den Rohstoffen kann der Schwefel lagerstättenbedingt als Sulfid und als Sulfat gebunden vorliegen. Ursache für höhere SO<sub>2</sub>-Emissionen von den Drehofenanlagen der Zementindustrie können die im Rohmaterial enthaltenen Sulfide sein, die bei der Vorwärmung des Brennguts bei Temperaturen zwischen 370 °C und ca. 420 °C zu SO<sub>2</sub> oxidiert werden. Die Sulfide kommen überwiegend in Form von Pyrit oder Markasit in den Rohstoffen vor. Aufgrund der in den deutschen Rohstoffvorkommen auftretenden Sulfidgehalte können die SO<sub>2</sub>-Emissionskonzentrationen standortabhängig bis zu 1,2 g/m<sup>3</sup> betragen. Die Zementindustrie hat erhebliche Anstrengungen zur Reduzierung der SO<sub>2</sub>-Emissionen unternommen. So wird beispielsweise an 11 Ofenanlagen Kalkhydrat zur Minderung der SO<sub>2</sub>-Emissionen eingesetzt.

Der mit den Brennstoffen eingetragene Schwefel wird bei der Verbrennung im Drehofen vollständig zu SO<sub>2</sub> umgewandelt. Dieses SO<sub>2</sub> reagiert im Vorwärmer- und Ofenbereich zu Alkalisulfaten, die überwiegend im Klinker gebunden werden.

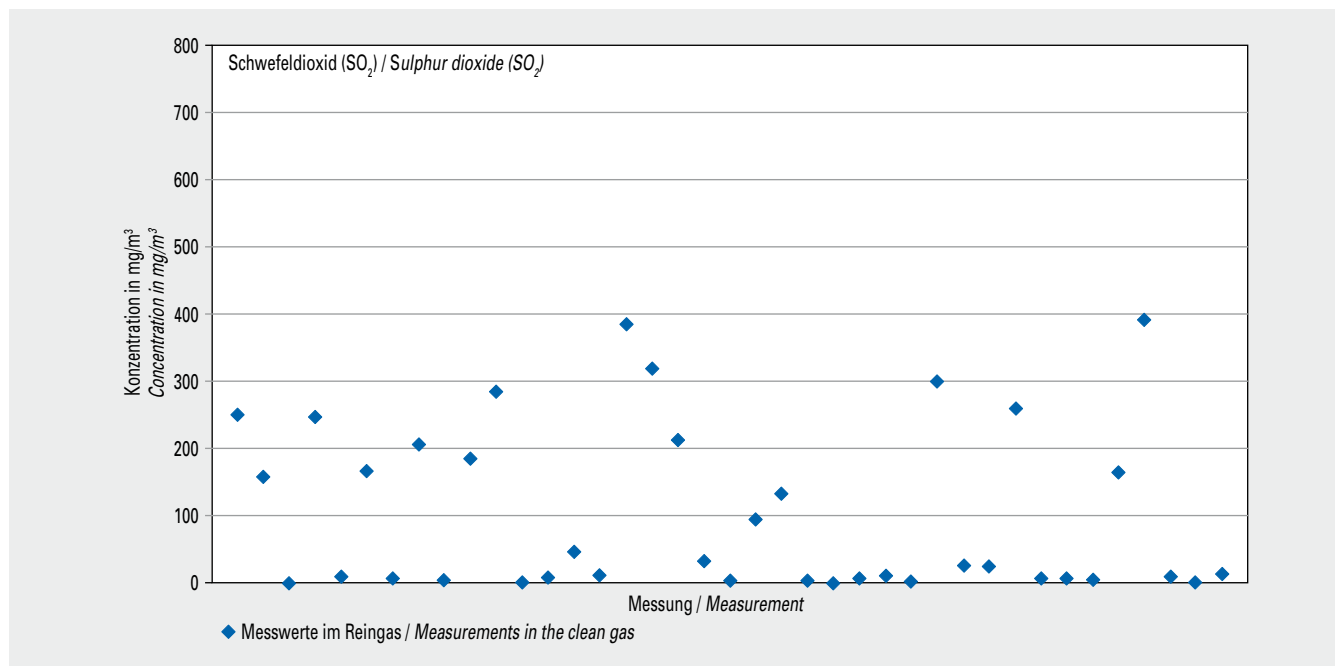
Bild 5-5 zeigt 39 Jahresmittelwerte der Konzentration von Schwefeldioxid aus kontinuierlicher Überwachung im Reingas von 39 Drehofenanlagen.

### 5.5 Sulphur dioxide (SO<sub>2</sub>)

Sulphur is fed into the clinker burning process via raw materials and fuels. Depending on their respective deposits, the raw material so may contain sulphur bound as sulphide or sulphate. Higher SO<sub>2</sub> emissions by rotary kiln systems of the cement industry might be attributable to the sulphides contained in the raw material, which become oxidised to form SO<sub>2</sub> at temperatures between 370 °C and 420 °C prevailing during the kiln feed preheating process. Most of the sulphides are pyrite or marcasite contained in the raw materials. Given the sulphide concentrations found in German raw material deposits, SO<sub>2</sub> emission concentrations can total up to 1.2 g/m<sup>3</sup> depending on the site location. The cement industry has made great efforts to reduce SO<sub>2</sub> emissions. For example, lime hydrate is utilised at 11 kiln systems to lower SO<sub>2</sub> emissions.

The sulphur input with the fuels is completely converted to SO<sub>2</sub> during combustion in the rotary kiln. In the area of the preheater and the kiln, this SO<sub>2</sub> reacts to form alkali sulphates, which are predominantly bound in the clinker.

Figure 5-5 shows 39 annual average values of the concentration of sulphur dioxide from continuous monitoring in the clean gas of 39 rotary kilns.



**Bild 5-5** Mittelwerte (Jahr 2019) der Konzentration von Schwefeldioxid (SO<sub>2</sub>) im Reingas von 39 Drehofenanlagen  
**Fig. 5-5** Average sulphur dioxide (SO<sub>2</sub>) concentration values (year 2019) measured in the clean gas of 39 rotary kilns

## 5.6 Kohlenstoffmonoxid (CO) und organischer Gesamtkohlenstoff ( $\Sigma C$ )

Die Abgaskonzentrationen von CO und organisch gebundenem Kohlenstoff sind bei Energieumwandlungsanlagen, wie z. B. Kraftwerken, ein Maß für den Ausbrand der eingesetzten Brennstoffe. Der Klinkerbrennprozess ist dagegen ein Stoffumwandlungsprozess, der aus Gründen der Klinkerqualität stets mit Luftüberschuss betrieben werden muss. In Verbindung mit den langen Verweilzeiten bei hohen Temperaturen führt dieses praktisch zu einem vollständigen Brennstoffausbrand. Die thermische Zersetzung organischer Bestandteile des Rohmaterials im Vorwärmer führt zu den entsprechenden rohmaterialbedingten Emissionen an Kohlenstoffmonoxid und organischem Gesamtkohlenstoff.

Ursache der Emissionen von CO und organisch gebundenem Kohlenstoff beim Klinkerbrennprozess sind vor allem die mit den natürlichen Rohstoffen in geringen Mengen zugeführten organischen Bestandteile (Überreste von Organismen und Pflanzen, die im Laufe der Erdgeschichte im Gestein eingebaut wurden). Sie werden beim Vorwärmen des Brennguts umgesetzt und weitgehend zu CO und CO<sub>2</sub> oxidiert. Ein sehr geringer verbleibender Anteil organischer Spurengase (organischer Gesamtkohlenstoff) wird emittiert. Der im Reingas vorliegende Gehalt an CO und organischen Spurengasen lässt beim Klinkerbrennprozess somit keinen Rückschluss auf die Verbrennungsbedingungen zu.

Bild 5-6 zeigt 39 Jahresmittelwerte der CO-Konzentration aus kontinuierlicher Überwachung im Reingas von 39 Drehofenanlagen.

Bild 5-7 zeigt 35 Jahresmittelwerte der Gesamtkohlenstoffkonzentration aus kontinuierlicher Überwachung im Reingas von 35 Drehofenanlagen.

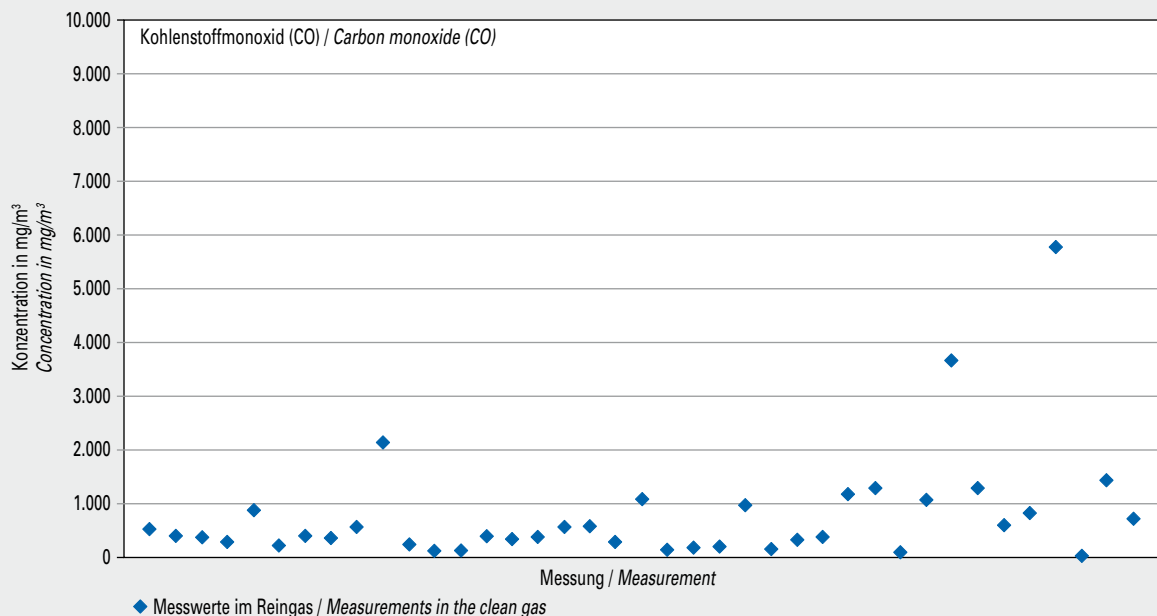
## 5.6 Carbon monoxide (CO) and total organic carbon (TOC)

The exhaust gas concentrations of CO and organically bound carbon are a yardstick for the burn-out rate of the fuels utilised in energy conversion plants, such as power stations. By contrast, the clinker burning process is a material conversion process that must always be operated with excess air for reasons of clinker quality. In conjunction with long residence times in the high temperature range this practically leads to a complete fuel burn-out. The thermal decomposition of organic material in the preheater leads to the corresponding emissions of carbon monoxide and total carbon.

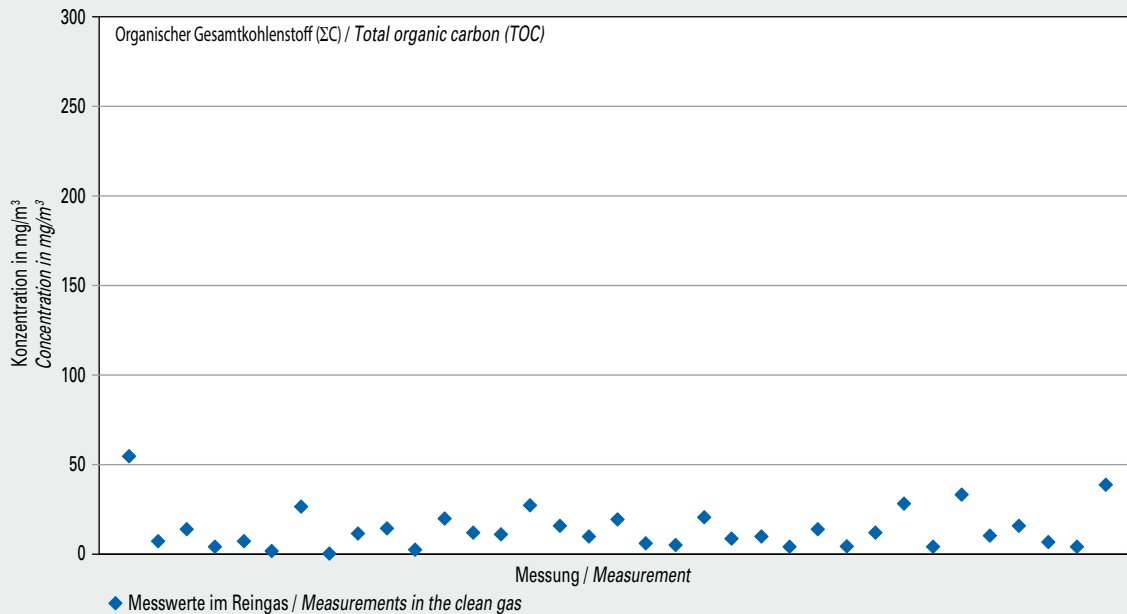
The emissions of CO and organically bound carbon during the clinker burning process are caused by the small quantities of organic constituents input via the natural raw materials (remnants of organisms and plants incorporated in the rock in the course of geological history). These are converted during kiln feed preheating and become oxidised to form CO and CO<sub>2</sub>. In this process, small portions of organic trace gases (total organic carbon) are formed as well. In case of the clinker burning process, the content of CO and organic trace gases in the clean gas therefore does not permit any conclusions on combustion conditions.

Figure 5-6 shows 39 annual average values of carbon monoxide concentration from continuous monitoring in the clean gas of 39 rotary kilns.

Figure 5-7 shows 35 annual average values of total organic carbon concentration from continuous monitoring in the clean gas of 35 rotary kilns.



**Bild 5-6** Mittelwerte (Jahr 2019) der Konzentration von Kohlenstoffmonoxid (CO) im Reingas von 39 Drehofenanlagen  
**Fig. 5-6** Average carbon monoxide (CO) concentration values (year 2019) measured in the clean gas of 39 rotary kilns



**Bild 5-7** Mittelwerte (Jahr 2019) der Konzentration von organischem Gesamtkohlenstoff ( $\Sigma C$ ) im Reingas von 35 Drehofenanlagen  
**Fig. 5-7** Average total organic carbon (TOC) concentration values (year 2019) measured in the clean gas of 35 rotary kilns

### 5.7 Dioxine und Furane (PCDD/F)

Drehofenanlagen der Zementindustrie unterscheiden sich von klassischen Feuerungsanlagen in erster Linie durch die Verbrennungsbedingungen beim Klinkerbrennen. Brenngut und Drehofenabgase werden im Gegenstrom geführt und intensiv durchmischt. Temperaturverlauf und Gasverweilzeit in Drehöfen bieten daher besonders günstige Bedingungen, um organische Verbindungen, die über Brennstoffe eingetragen werden oder daraus entstehen, vollständig zu zerstören.

Polychlorierte Dibenzo-p-dioxine und Dibenzofurane (kurz: Dioxine und Furane) liegen deshalb in Abgasen von Drehöfen der Zementindustrie nur in sehr geringen Konzentrationen vor. Untersuchungen haben gezeigt, dass ihre Emissionen unabhängig von der Art der Einsatzstoffe sind und durch verfahrenstechnische Maßnahmen nicht beeinflusst werden können.

Anmerkung: Aus der Norm lässt sich keine Bestimmungsgrenze ableiten. Für die Beurteilung der Messergebnisse kann die externe Streuung des Verfahrens (Vergleich verschiedener Laboratorien) herangezogen werden. Sie beträgt gemäß DIN EN 1948  $\pm 0,05 \text{ ng ITEQ}/\text{m}^3$  (ITEQ: Internationales Toxizitätsäquivalent).

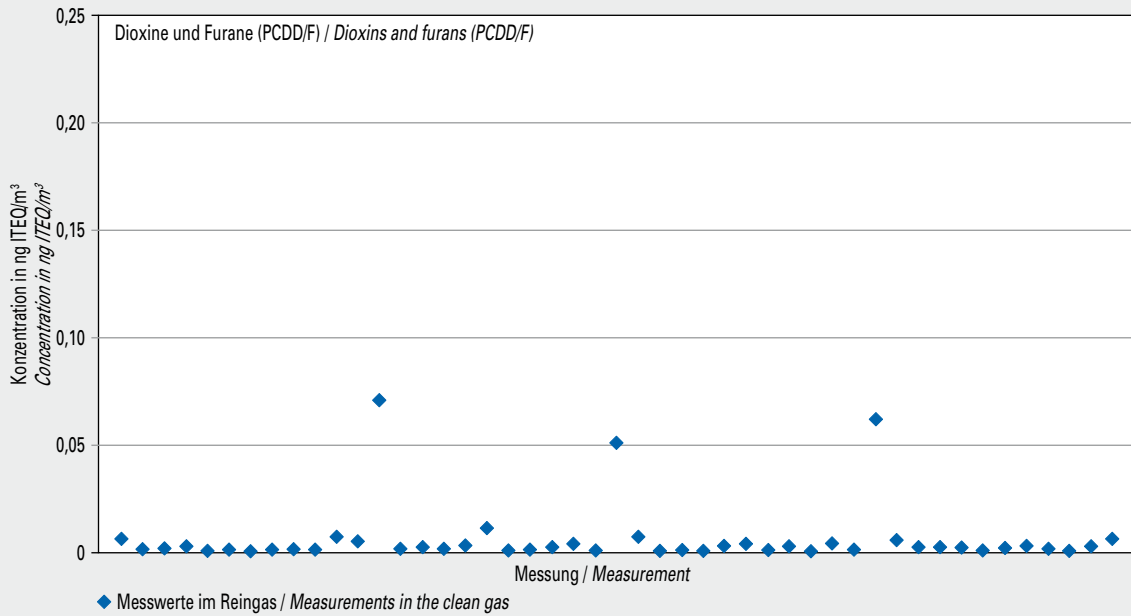
Im Bild 5-8 sind 109 Messwerte der Konzentration von Dioxinen und Furanen aus 2019 im Reingas von 36 Drehofenanlagen dargestellt. In 62 Fällen konnte kein PCDD/F nachgewiesen werden.

### 5.7 Dioxins and furans (PCDD/F)

Rotary kilns of the cement industry and classic combustion plants mainly differ in terms of the combustion conditions prevailing during clinker burning. Kiln feed and rotary kiln exhaust gases are conveyed in counter-flow and mixed thoroughly. Thus, temperature distribution and residence time in rotary kilns afford particularly favourable conditions for organic compounds, introduced either via fuels or derived from them, to be completely destroyed. For that reason, only very low concentrations of polychlorinated dibenzo-p-dioxins and dibenzofurans (in short: dioxins and furans) can be found in the exhaust gas from cement rotary kilns. Investigations have shown that their emissions are independent of the type of input materials used and cannot be influenced by process technology measures.

Note: No limit of quantification can be deduced from the standard. To evaluate the measurement results, interlaboratory variation of the method (comparison between different laboratories) can be referred to. Pursuant to DIN EN 1948 it amounts to  $\pm 0.05 \text{ ng ITEQ}/\text{m}^3$  (ITEQ: international toxicity equivalent).

Figure 5-8 shows 109 dioxin and furan concentration values from measurements in the clean gas at 36 rotary kilns in 2019. In 62 cases no PCDD/F was detected.



**Bild 5-8** Messwerte (Jahr 2019) der Konzentration von Dioxinen und Furanen (PCDD/F) im Reingas von 36 Drehofenanlagen  
**Fig. 5-8** Dioxin and furan (PCDD/F) concentration values (year 2019) measured in the clean gas of 36 rotary kilns

### 5.8 Polychlorierte Biphenyle (PCB)

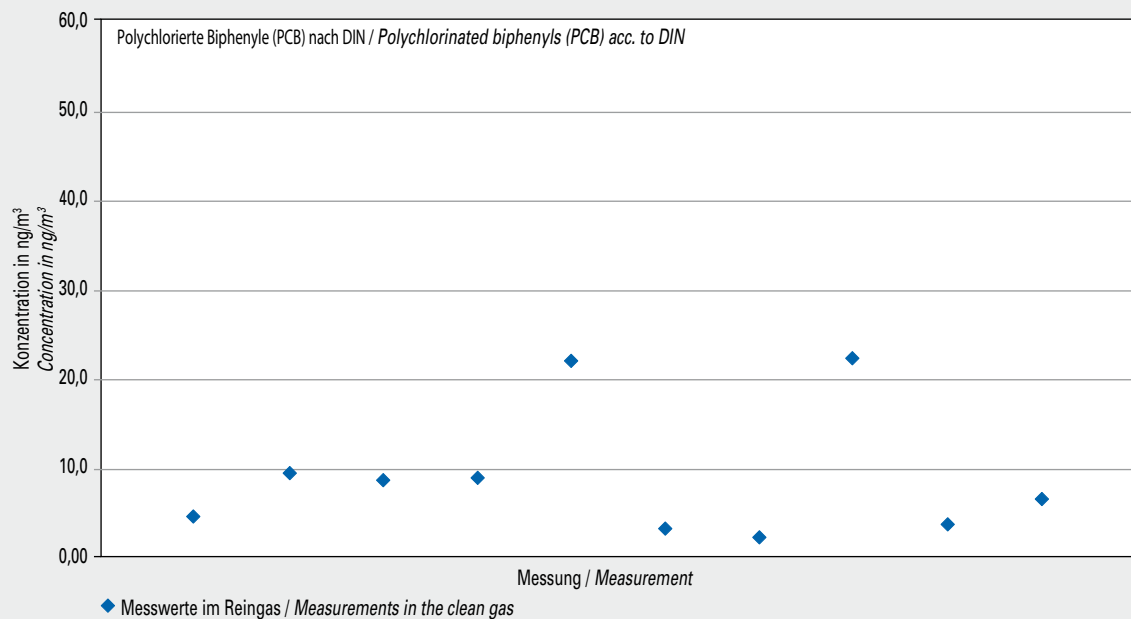
Das Emissionsverhalten der PCB ist mit dem der Dioxine und Furane vergleichbar. PCB können mit alternativen Roh- und Brennstoffen in den Prozess gelangen. In Drehofenanlagen der Zementindustrie ist eine praktisch vollständige Zerstörung dieser Spurenkomponenten gewährleistet.

Bild 5-9 und Bild 5-10 zeigen 115 Werte aus Messungen an 38 Drehofenanlagen, 13 Werte nach DIN, 102 Werte nach WHO. In 3 Fällen konnten keine PCB nachgewiesen werden.

### 5.8 Polychlorinated biphenyls (PCB)

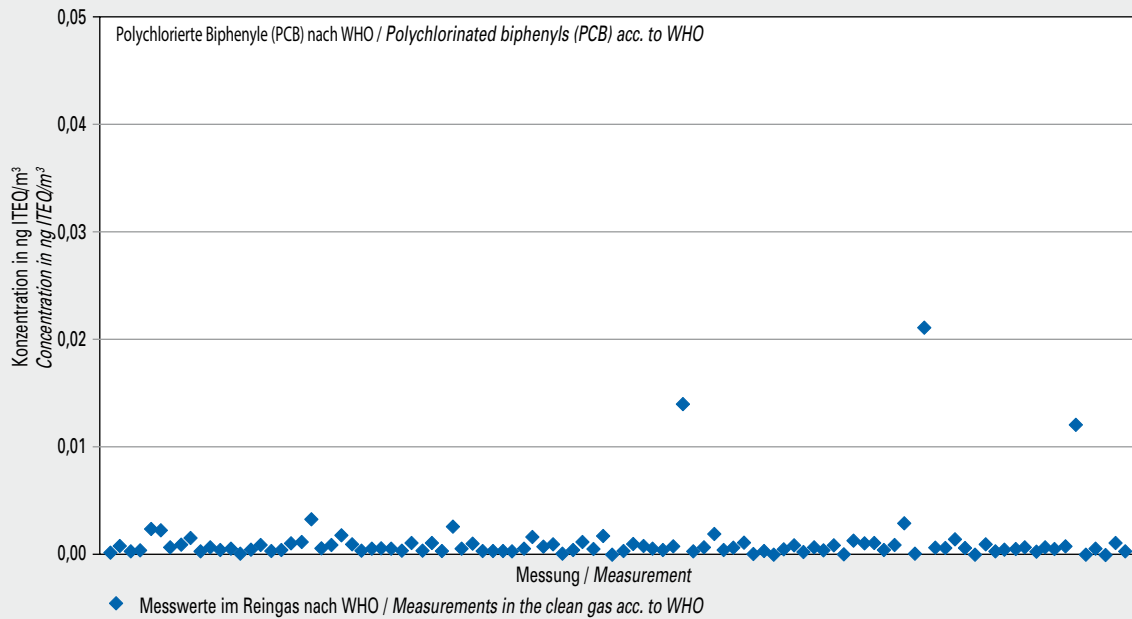
The emission behaviour of PCB is comparable to that of dioxins and furans. PCB may be introduced into the process via alternative raw materials and fuels. The rotary kiln systems of the cement industry guarantee a virtually complete destruction of these trace components.

Figure 5-9 and Figure 5-10 show 115 values from measurements at 38 rotary kilns, 13 values acc. to DIN, 102 values acc. to WHO. In 3 cases no PCB were detected.



**Bild 5-9** Messwerte (Jahr 2019) der Konzentration von polychlorierten Biphenylen (PCB) nach DIN im Reingas von sieben Drehofenanlagen  
**Fig. 5-9** Polychlorinated biphenyl (PCB) concentration values acc. to DIN (year 2019) measured in the clean gas of seven rotary kilns





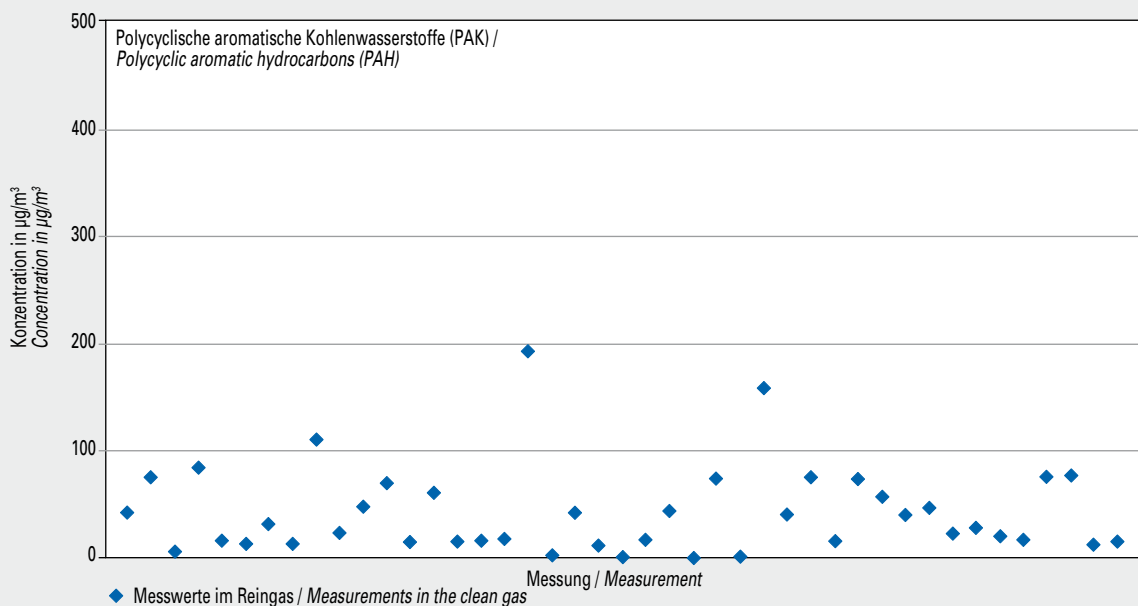
**Bild 5-10** Messwerte (Jahr 2019) der Konzentration von polychlorierten Biphenylen (PCB) nach WHO im Reingas von 31 Drehofenanlagen  
**Fig. 5-10** Polychlorinated biphenyl (PCB) concentration values acc. to WHO (year 2019) measured in the clean gas of 31 rotary kilns

### 5.9 Polycyclische aromatische Kohlenwasserstoffe (PAK)

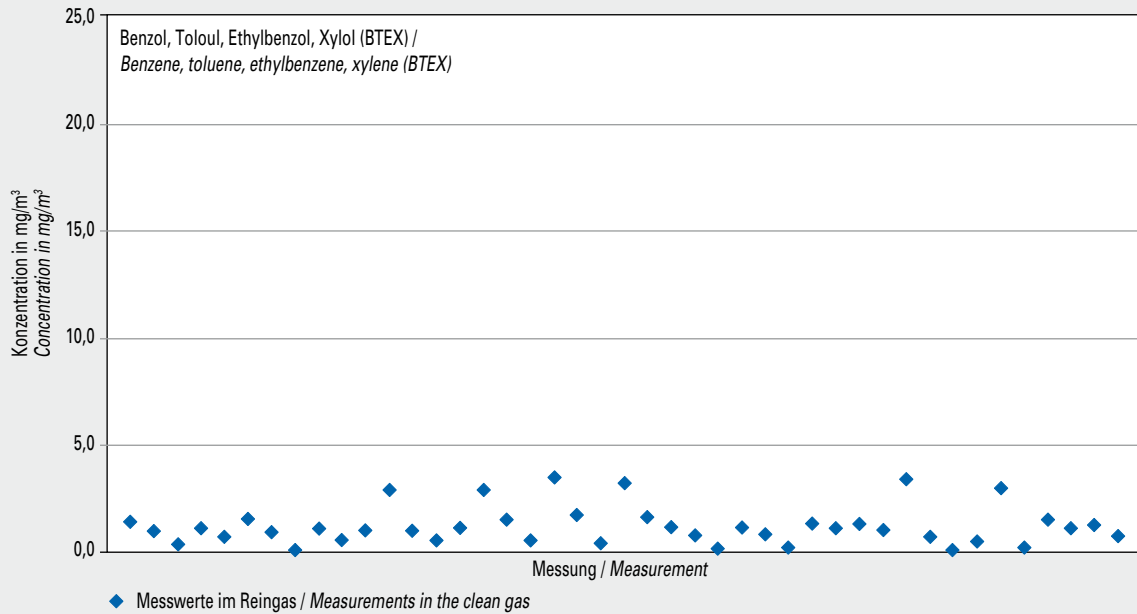
Im Abgas von Drehofenanlagen der Zementindustrie liegt im Allgemeinen eine Verteilung der PAK (nach EPA 610) vor, in der Naphthalin mit einem Massenanteil von über 90 % dominiert. In Drehofenanlagen der Zementindustrie ist eine praktisch vollständige Zerstörung der aus den Brennstoffen stammenden PAK gewährleistet. Emissionen entstammen den organischen Bestandteilen im Rohmaterial.

### 5.9 Polycyclic aromatic hydrocarbons (PAH)

PAHs (according to EPA 610) in the exhaust gas of rotary kilns usually appear at a distribution dominated by naphthalene, which accounts for a share of more than 90 % by mass. The rotary kiln systems of the cement industry guarantee a virtually complete destruction of the PAHs input via fuels. Emissions are caused by organic constituents in the raw material.



**Bild 5-11** Messwerte (Jahr 2019) der Konzentration von PAK (nach EPA 610) im Reingas von 14 Drehofenanlagen  
**Fig. 5-11** Polycyclic aromatic hydrocarbons (PAH acc. to EPA 610) concentration values (year 2019) in the clean gas of 14 rotary kilns



**Bild 5-12** Messwerte (2019) der Konzentration von Benzol, Toluol, Ethylbenzol und Xylol (BTEX) im Reingas von 12 Drehofenanlagen  
**Fig. 5-12** Benzene, toluene, ethylbenzene, xylene (BTEX) concentration values (year 2019) measured in the clean gas of 12 rotary kilns

Bild 5-11 zeigt 44 Messwerte der Konzentration von PAK im Reingas von 14 Drehofenanlagen. In einem Fall konnte kein PAK nachgewiesen werden.

Figure 5-11 shows 44 PAH concentration values in the clean gas at 14 rotary kilns. In one case no PAK was detected.

### 5.10 Benzol, Toluol, Ethylbenzol, Xylol (BTEX)

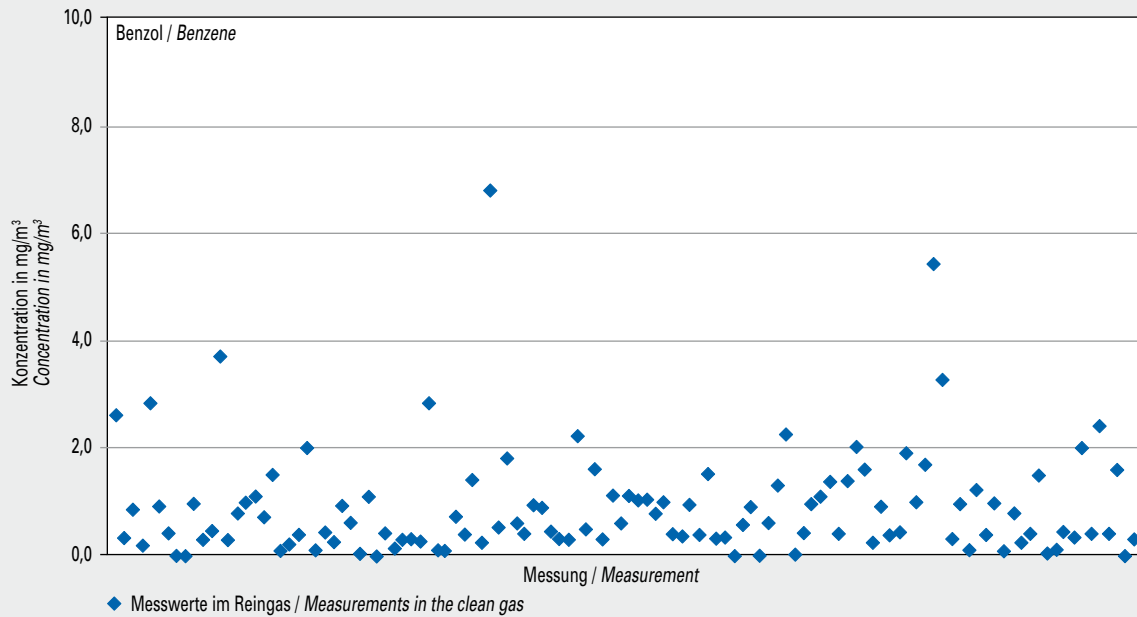
Im Abgas von Drehofenanlagen der Zementindustrie liegen die oben genannten Verbindungen im Allgemeinen in einer charakteristischen Verteilung vor. BTEX entstehen bei der thermischen Zersetzung organischer Bestandteile des Rohmaterials im Vorwärmer. Sie sind zu etwa 10 % an den Gesamtkohlenstoffemissionen beteiligt.

### 5.10 Benzene, toluene, ethylbenzene, xylene (BTEX)

As a rule the above compounds are present in the exhaust gas of rotary kilns in a characteristic ratio. BTEX is formed during the thermal decomposition of organic raw material constituents in the preheater. They account for about 10 % of total carbon emissions.

Figure 5-12 shows 43 BTEX concentration values from measurements in the clean gas at 12 rotary kilns.

In 2019 wurden 43 Werte aus Messungen der BTEX-Konzentration im Reingas von 12 Drehofenanlagen ermittelt (Bild 5-12).



**Bild 5-13** Messwerte (Jahr 2019) der Konzentration von Benzol im Reingas von 34 Drehofenanlagen  
**Fig. 5-13** Benzene concentration values (year 2019) measured in the clean gas of 34 rotary kilns

### 5.11 Benzol

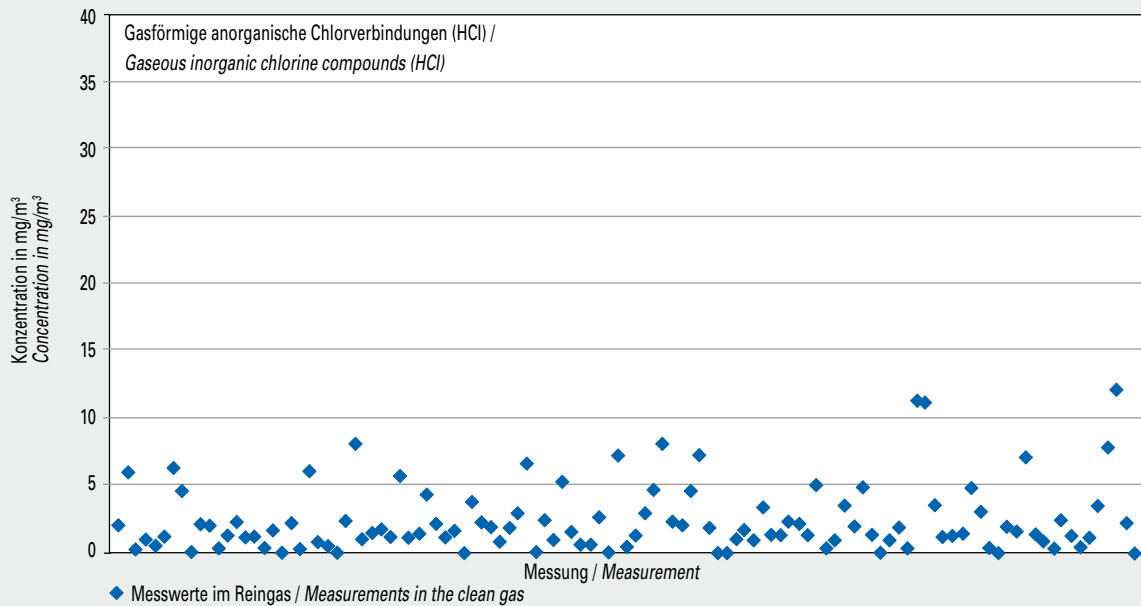
Benzol entsteht bei der thermischen Zersetzung organischer Bestandteile des Rohmaterials im Vorwärmer. Es ist im Allgemeinen zu mehr als der Hälfte an den Emissionen von BTEX beteiligt.

Bild 5-13 zeigt 118 Werte aus Messungen der Benzolkonzentration im Reingas von 34 Ofenanlagen.

### 5.11 Benzene

Benzene is produced during the thermal decomposition of organic raw material constituents in the preheater. As a rule, it accounts for more than half of the BTEX emissions.

Figure 5-13 shows 118 benzene concentration values from measurements in the clean gas at 34 rotary kilns.



**Bild 5-14** Messwerte (Jahr 2019) der Konzentrationen gasförmiger anorg. Chlorverbindungen (HCl) im Reingas von 39 Drehofenanlagen  
**Fig. 5-14** Gaseous inorganic chlorine compounds (HCl) concentration values (year 2019) measured in the clean gas of 39 rotary kilns

### 5.12 Gasförmige anorganische Chlorverbindungen (HCl)

Rohmaterialien und Brennstoffe des Klinkerbrennprozesses enthalten als Nebenbestandteile Chloride. Sie werden beim Verfeuern der Brennstoffe oder Erhitzen des Brennguts freigesetzt und reagieren überwiegend mit den Alkalien aus dem Brenngut unter Bildung von Alkalichloriden. Diese zunächst dampfförmig vorliegenden Verbindungen kondensieren bei Temperaturen zwischen 700 °C und 900 °C am Brenngut bzw. am Ofengasstaub, gelangen anschließend erneut in den Drehofen und verdampfen erneut. Dieser Kreislauf im Bereich zwischen Drehofen und Vorwärmer kann zur Bildung von Ansätzen führen. Über einen Gasabzug am Ofeneinlauf können Alkalichloridkreisläufe wirkungsvoll reduziert und damit Betriebsstörungen vermindert werden. Gasförmige anorganische Chlorverbindungen werden beim Klinkerbrennprozess nicht oder nur in sehr geringen Mengen emittiert. Das Auftreten von Chlorwasserstoff (HCl) im Abgas kann aufgrund der basischen Ofengasatmosphäre weitgehend ausgeschlossen werden. Werden gasförmige anorganische Chloride im Abgas von Drehofenanlagen nachgewiesen, so ist dies im Allgemeinen auf feinste Kornfraktionen von Alkalichloriden im Reingasstaub zurückzuführen. Sie können Messgasfilter passieren und das Vorliegen der gasförmigen Verbindungen vortäuschen.

Bild 5-14 zeigt 113 Werte aus Messungen der HCl-Konzentration im Reingas von 39 Drehofenanlagen.

### 5.13 Gasförmige anorganische Fluorverbindungen (HF)

Fluor liegt in Drehöfen der Zementindustrie zu 90 bis 95 % im Klinker und der Rest in Form des unter den Bedingungen des Brennbetriebs stabilen Calciumfluorids an Staub gebunden vor.

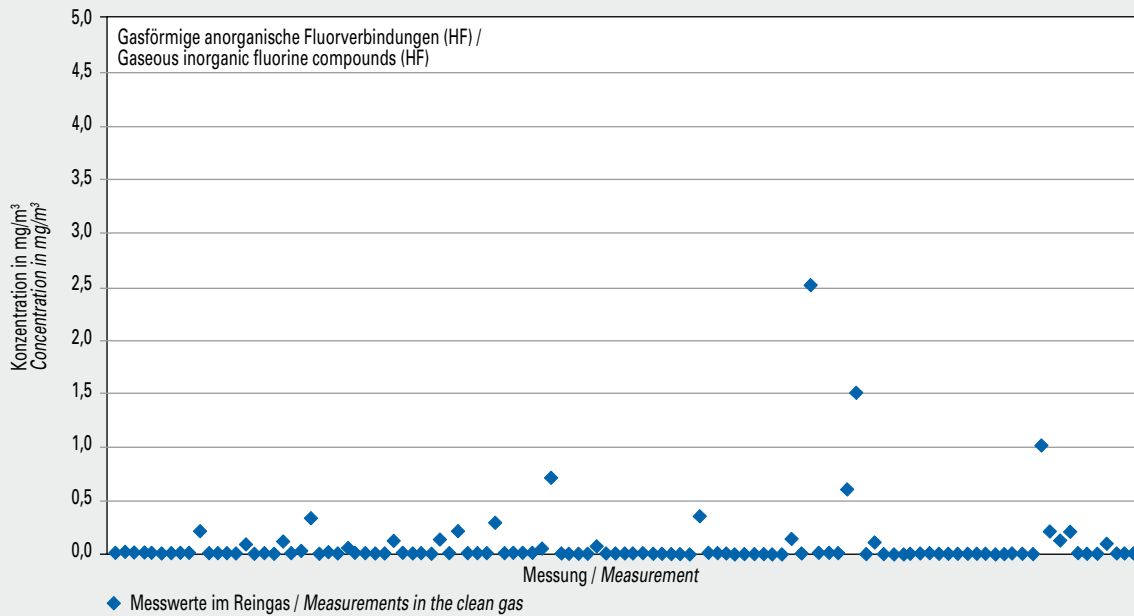
### 5.12 Gaseous inorganic chlorine compounds (HCl)

Chlorides are minor additional constituents contained in the raw materials and fuels of the clinker burning process. They are released when the fuels are burnt or the kiln feed is heated and primarily react with the alkalis from the kiln feed to form alkali chlorides. These compounds, which are initially vaporous, condense on the kiln feed or the kiln dust, respectively, at temperatures between 700 °C and 900 °C, subsequently re-enter the rotary kiln system and evaporate again. This cycle in the area between the rotary kiln and the preheater can result in coating formation. A bypass at the kiln inlet allows to effectively reduce alkali chloride cycles and to thus diminish operational malfunctions. During the clinker burning process gaseous inorganic chlorine compounds are either not emitted at all or only in very small quantities. Owing to the alkaline kiln gas atmosphere, the formation of hydrogen chloride (HCl) in the exhaust gas can be largely ruled out. Gaseous inorganic chlorides detected in the exhaust gas of rotary kiln systems are generally attributable to ultra-fine grain size fractions of alkali chlorides in the clean gas dust. They can pass through measuring gas filters, thus feigning the presence of the gaseous compounds.

Figure 5-14 shows 113 HCl concentration values from measurements in the clean gas at 39 rotary kilns.

### 5.13 Gaseous inorganic fluorine compounds (HF)

Of the fluorine present in rotary kilns, 90 to 95 % is bound in the clinker and the remainder is bound with dust in the form of calcium fluoride stable under the conditions of the burning process. Owing to the great calcium excess, the emission of gaseous fluorine compounds and of hydrogen fluoride in particular, is virtually excluded. Ultra-fine dust fractions that pass through the measuring gas



**Bild 5-15** Messwerte (Jahr 2019) der Konzentration gasförmige anorganische Fluorverbindungen (HF) im Reingas von 36 Drehofenanlagen  
**Fig. 5-15** Gaseous inorganic fluorine compounds (HF) concentration values (year 2019) measured in the clean gas of 36 rotary kilns

Die Emission gasförmiger Fluorverbindungen, insbesondere auch von Fluorwasserstoff, ist wegen des hohen Calciumüberschusses praktisch ausgeschlossen. Feinste Staubfraktionen, die das Messgasfilter passieren, können bei Drehofenanlagen der Zementindustrie geringe Gehalte an gasförmigen Fluorverbindungen vortäuschen.

Bild 5-15 zeigt 111 Werte aus Messungen der HF-Konzentration im Reingas von 36 Drehofenanlagen.

#### 5.14 Spurenelemente

Für das Emissionsverhalten der einzelnen Elemente im Klinkerbrennprozess sind die Eintragsituation, das Verhalten in der Anlage sowie der Abscheidegrad der Entstaubungseinrichtung von Bedeutung. Die mit den Roh- und Brennstoffen dem Brennprozess zugeführten Spurenelemente können in Abhängigkeit von ihrer Flüchtigkeit ganz oder teilweise in den heißen Zonen des Vorwärmers und/oder Drehofens verdampfen, mit den in der Gasphase vorliegenden Bestandteilen reagieren und in den kälteren Bereichen des Ofensystems auf dem Brenngut kondensieren. Je nach Flüchtigkeit und Betriebsbedingungen können sich Kreisläufe ausbilden, die entweder auf Ofen und Vorwärmer beschränkt bleiben oder auch die Mahltrocknungsanlage mit einschließen.

Spurenelemente aus den Brennstoffen gelangen zunächst in die Verbrennungsgase, werden jedoch aufgrund des Rückhaltevermögens von Ofen und Vorwärmer nur in äußerst geringem Maße emittiert. Tabelle 5-3 enthält repräsentative Emissionsfaktoren für Drehofenanlagen mit Zyklonvorwärmer. Mit ihnen lässt sich abschätzen, welcher Anteil der Spurenelemente aus den Roh- und Brennstoffen durchschnittlich mit dem Reingas emittiert wird.

filter may simulate low contents of gaseous fluorine compounds in rotary kiln systems of the cement industry.

Figure 5-15 shows 111 HF concentration values from measurements in the clean gas at 36 rotary kilns.

#### 5.14 Trace elements

The emission behaviour of the individual elements in the clinker burning process is determined by the input scenario, the behaviour in the process and the precipitation efficiency of the dust collection device. The trace elements introduced into the burning process via the raw materials and fuels may evaporate completely or partially in the hot zones of the preheater and/or rotary kiln depending on their volatility, react with the constituents present in the gas phase and condense on the kiln feed in the cooler sections of the kiln system. Depending on the volatility and the operating conditions, this may result in the formation of cycles that are either restricted to the kiln and the preheater or include the combined drying and grinding plant as well.

Trace elements from the fuels initially enter the combustion gases, but are emitted to an extremely small extent only owing to the retention capacity of the kiln and the preheater. Table 5-3 gives representative emission factors for rotary kiln systems equipped with cyclone preheaters. These coefficients serve to calculate the average proportion of trace elements from raw materials and fuels emitted with the clean gas.

Under the conditions prevailing in the clinker burning process, non-volatile elements (e.g. arsenic, vanadium, nickel) are completely bound in the clinker. Elements such as lead and cadmium

**Tabelle 5-3** Emissionsfaktoren (EF, emittierter Anteil des Gesamteintrags) für Drehofenanlagen mit Zyklonvorwärmer  
**Table 5-3** Emission factors (EF, emitted portion of the total input) for rotary kiln systems with cyclone pre-heater

| Komponente / Component | EF in % / EF in % |
|------------------------|-------------------|
| Cadmium / Cadmium      | 0,17              |
| Thallium / Thallium    | 1,3               |
| Quecksilber / Mercury  | 40,0              |
| Antimon / Antimony     | 0,03              |
| Arsen / Arsenic        | 0,023             |
| Blei / Lead            | 0,05              |
| Chrom / Chromium       | 0,012             |
| Cobalt / Cobalt        | 0,019             |
| Kupfer / Copper        | 0,0093            |
| Mangan / Manganese     | 0,018             |
| Nickel / Nickel        | 0,03              |
| Vanadium / Vanadium    | 0,052             |
| Zinn / Tin             | 0,074             |

Quelle / Source: Leitfaden zur energetischen Verwertung von Abfällen in Zement-, Kalk- und Kraftwerken in Nordrhein-Westfalen

Unter den Bedingungen des Klinkerbrennprozesses werden die nichtflüchtigen Elemente (z. B. Arsen, Vanadium, Nickel) vollständig in den Klinker eingebunden. Elemente wie Blei und Cadmium reagieren im Bereich zwischen Drehofen und Vorwärmer bevorzugt mit den im Überschuss zur Verfügung stehenden Chloriden und Sulfaten zu schwerflüchtigen Verbindungen. Aufgrund des hohen Oberflächenangebots kondensieren diese Verbindungen bei Temperaturen zwischen 700 °C und 900 °C an den Brenngutpartikeln. Die im Ofen-Vorwärmer-System gespeicherten schwerflüchtigen Elemente werden so im Zyklonvorwärmer wieder abgeschieden und verbleiben praktisch vollständig im Klinker.

Thallium und seine Verbindungen kondensieren im oberen Bereich des Zyklonvorwärmers bei Temperaturen zwischen 450 °C und 500 °C, sodass sich zwischen Vorwärmer, Rohmaterialtrocknung und Abgasreinigungsanlage ein Kreislauf ausbilden kann.

Quecksilber und seine Verbindungen werden in Ofen und Vorwärmer nicht abgeschieden. Auf dem Abgasweg kondensieren sie infolge der Abkühlung des Gases und werden von den Rohmaterialpartikeln teilweise adsorbiert. Dieser Anteil wird im Ofenabgasfilter abgeschieden.

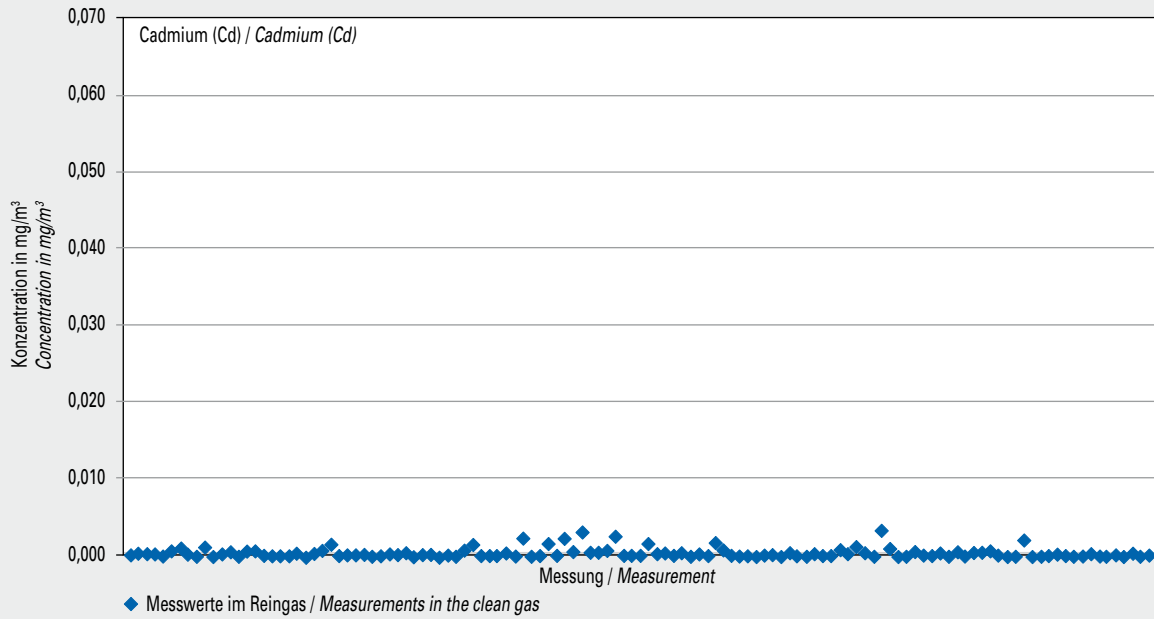
Aufgrund des Verhaltens der Spurenelemente beim Klinkerbrennprozess sowie der hohen Abscheideleistung der Entstaubungseinrichtungen liegen die Emissionskonzentrationen der Spurenelemente insgesamt auf einem niedrigen Niveau.

preferably react with the excess chlorides and sulphates in the section between the rotary kiln and the preheater, forming low-volatile compounds. Owing to the large surface area available, these compounds condense on the kiln feed particles at temperatures of between 700 °C and 900 °C. In this way, the low-volatile elements accumulated in the kiln-preheater-system are precipitated again in the cyclone preheater, remaining almost completely in the clinker.

Thallium and its compounds condense in the upper zone of the cyclone preheater at temperatures of between 450 °C and 500 °C. As a consequence, a cycle can be formed between preheater, raw material drying and exhaust gas purification.

Mercury and its compounds are not precipitated in the kiln and the preheater. They condense on the exhaust gas route due to the cooling of the gas and are partially adsorbed by the raw material particles. This portion is precipitated in the kiln exhaust gas filter.

Owing to trace element behaviour during the clinker burning process and the high precipitation efficiency of the dust collection devices, trace element emission concentrations are on a low overall level.



**Bild 5-16** Messwerte (Jahr 2019) der Konzentration von Cadmium (Cd) im Reingas von 37 Drehofenanlagen  
**Fig. 5-16** Cadmium (Cd) concentration values (year 2019) measured in the clean gas of 37 rotary kilns

Anmerkung: Einige Messwerte sind aufgrund einer Kontamination bei der Probenahme bzw. Probenaufbereitung erhöht. Die Darstellung kann deshalb nicht mit den Vorjahren verglichen werden.

Note: Due to a contamination during the sampling and the sample processing some values are increased. This depiction can therefore not be compared with previous years.

#### 5.14.1 Cadmium (Cd)

In 2019 wurden 123 Werte aus Messungen im Reingas von 37 Drehofenanlagen ermittelt. (Bild 5-16).

#### 5.14.1 Cadmium (Cd)

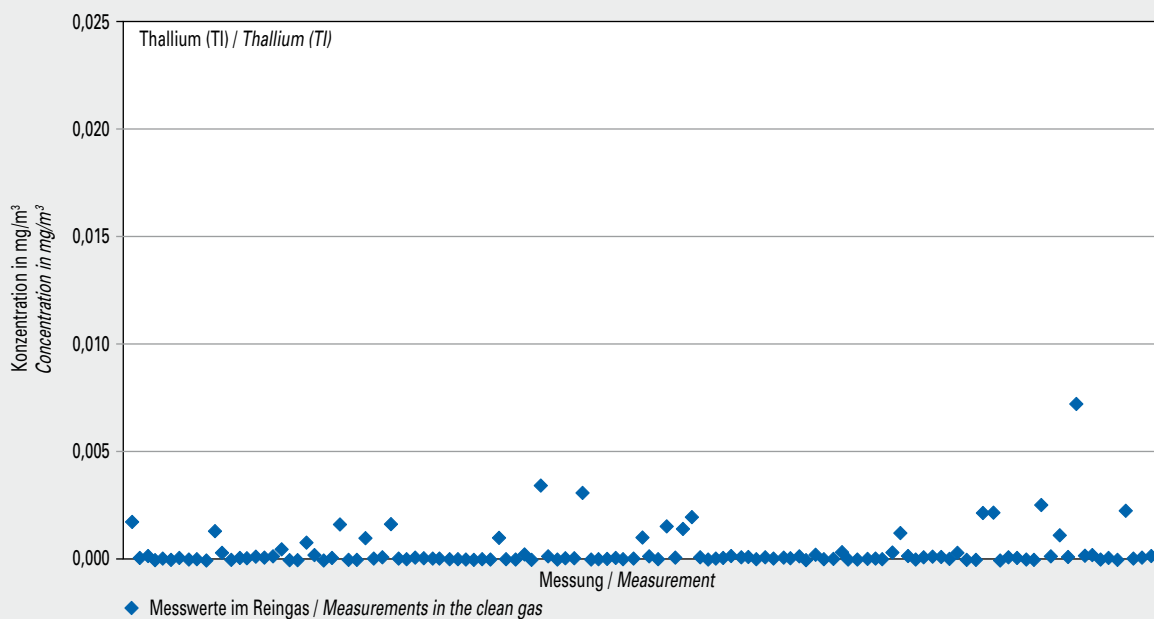
Figur 5-16 shows 123 values from measurements in the clean gas at 37 rotary kilns.

#### 5.14.2 Thallium (Tl)

In 2019 wurden 123 Werte aus Messungen im Reingas von 37 Drehofenanlagen ermittelt (Bild 5-17).

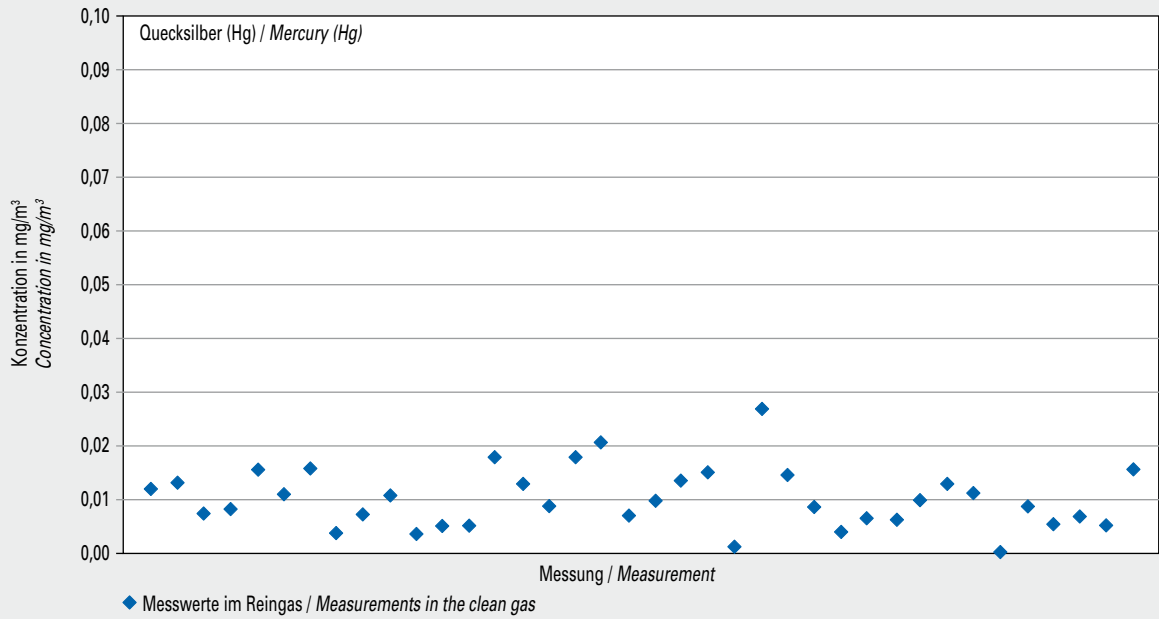
#### 5.14.2 Thallium (Tl)

Figure 5-17 shows 123 values from measurements in the clean gas at 37 rotary kilns.



**Bild 5-17** Messwerte (Jahr 2019) der Konzentration von Thallium (Tl) im Reingas von 37 Drehofenanlagen  
**Fig. 5-17** Thallium (Tl) concentration values (year 2019) measured in the clean gas of 37 rotary kilns





**Bild 5-18** Mittelwerte (Jahr 2019) der Konzentration von Quecksilber (Hg) im Reingas von 38 Drehofenanlagen  
**Fig. 5-18** Mercury (Hg) concentration values (year 2019) measured in the clean gas of 38 rotary kilns

5.14.3 Quecksilber (Hg)

In 2019 wurden 38 Jahresmittelwerte der Hg-Konzentration aus kontinuierlicher Überwachung von 38 Drehofenanlagen ermittelt (Bild 5-18).

5.14.3 Mercury (Hg)

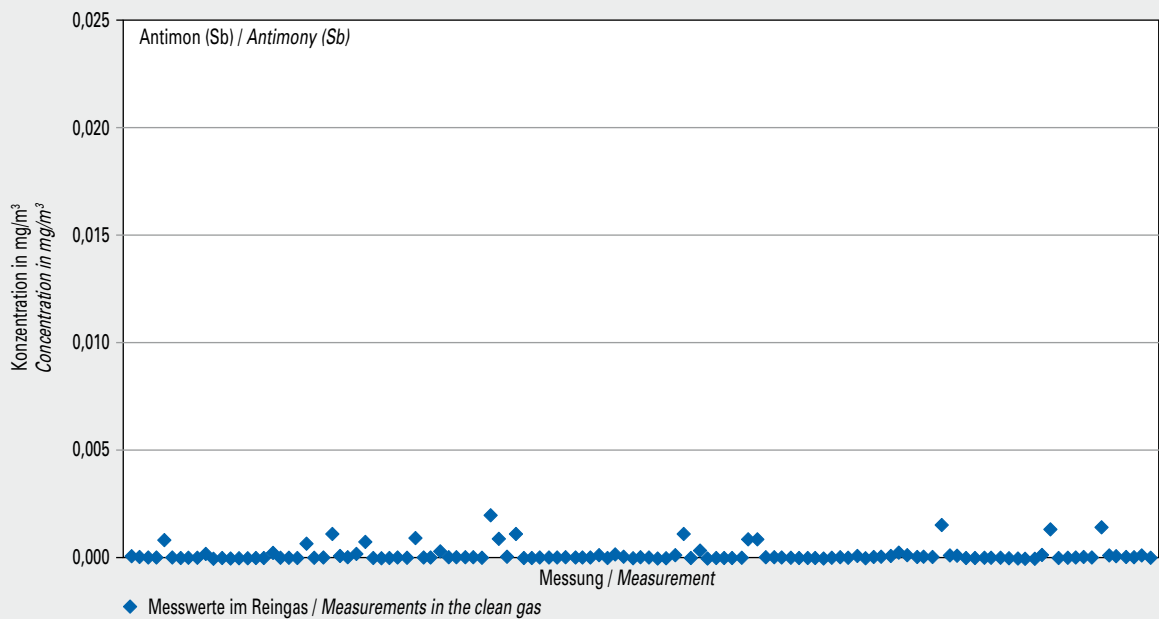
Figure 5-18 shows 38 annual average Hg concentration values from continuous monitoring at 38 rotary kilns.

5.14.4 Antimon (Sb)

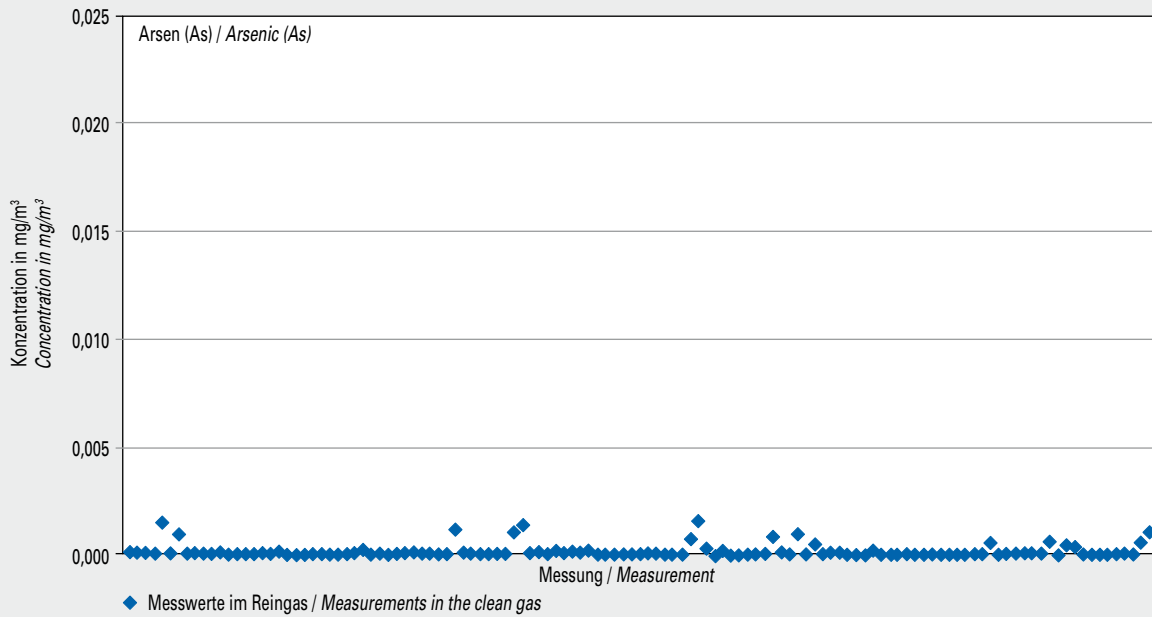
In 2019 wurden 123 Werte aus Messungen im Reingas von 37 Drehofenanlagen ermittelt (Bild 5-19).

5.14.4 Antimony (Sb)

Figure 5-19 shows 123 values from measurements in the clean gas at 37 rotary kilns.



**Bild 5-19** Messwerte (Jahr 2019) der Konzentration von Antimon (Sb) im Reingas von 37 Drehofenanlagen  
**Fig. 5-19** Antimon (Sb) concentration values (year 2019) measured in the clean gas of 37 rotary kilns



**Bild 5-20** Messwerte (Jahr 2019) der Konzentration von Arsen (As) im Reingas von 37 Drehofenanlagen  
**Fig. 5-20** Arsenic (As) concentration values (year 2019) measured in the clean gas of 37 rotary kilns

#### 5.14.5 Arsen (As)

In 2019 wurden 123 Werte aus Messungen im Reingas von 37 Drehofenanlagen ermittelt (Bild 5-20).

#### 5.14.5 Arsenic (As)

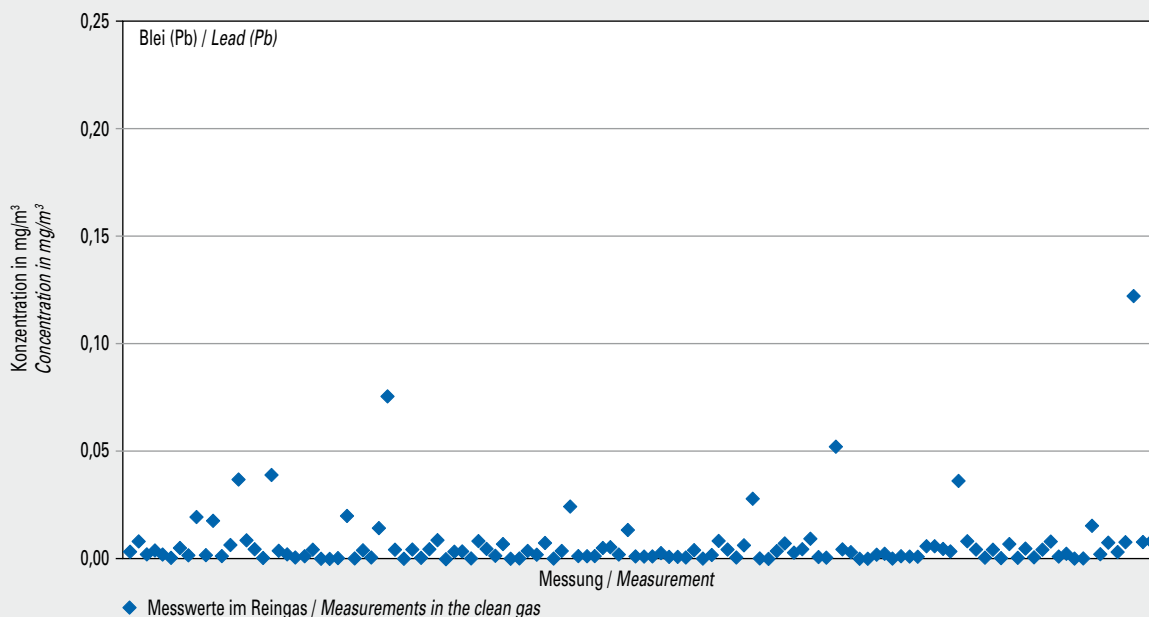
Figure 5-20 shows 123 values from measurements in the clean gas at 37 rotary kilns.

#### 5.14.6 Blei (Pb)

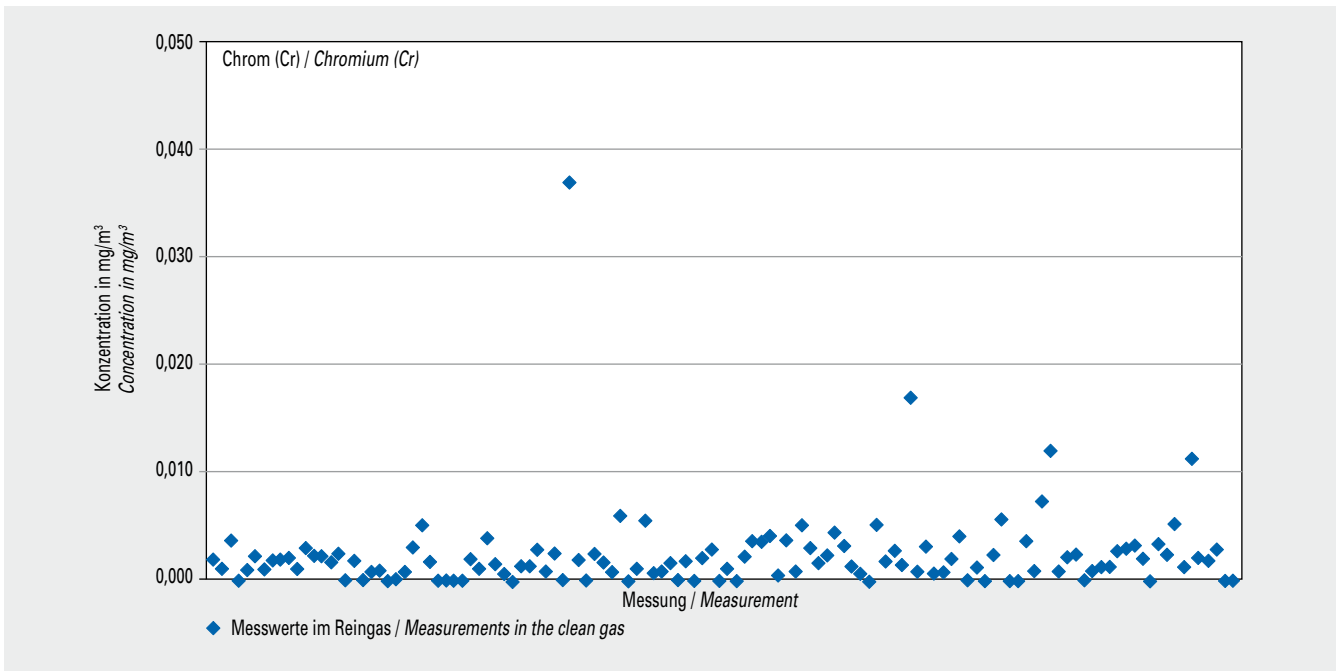
In 2019 wurden 124 Werte aus Messungen im Reingas von 38 Drehofenanlagen ermittelt (Bild 5-21).

#### 5.14.6 Lead (Pb)

Figure 5-21 shows 124 values from measurements in the clean gas at 38 rotary kilns.



**Bild 5-21** Messwerte (Jahr 2019) der Konzentration von Blei (Pb) im Reingas von 38 Drehofenanlagen  
**Fig. 5-21** Lead (Pb) concentration values (year 2019) measured in the clean gas of 38 rotary kilns



**Bild 5-22** Messwerte (Jahr 2019) der Konzentration von Chrom (Cr) im Reingas von 38 Drehofenanlagen  
**Fig. 5-22** Chromium (Cr) concentration values (year 2019) measured in the clean gas of 38 rotary kilns

5.14.7 Chrom (Cr)

In 2019 wurden 124 Werte aus Messungen im Reingas von 38 Drehofenanlagen ermittelt (Bild 5-22).

5.14.7 Chromium (Cr)

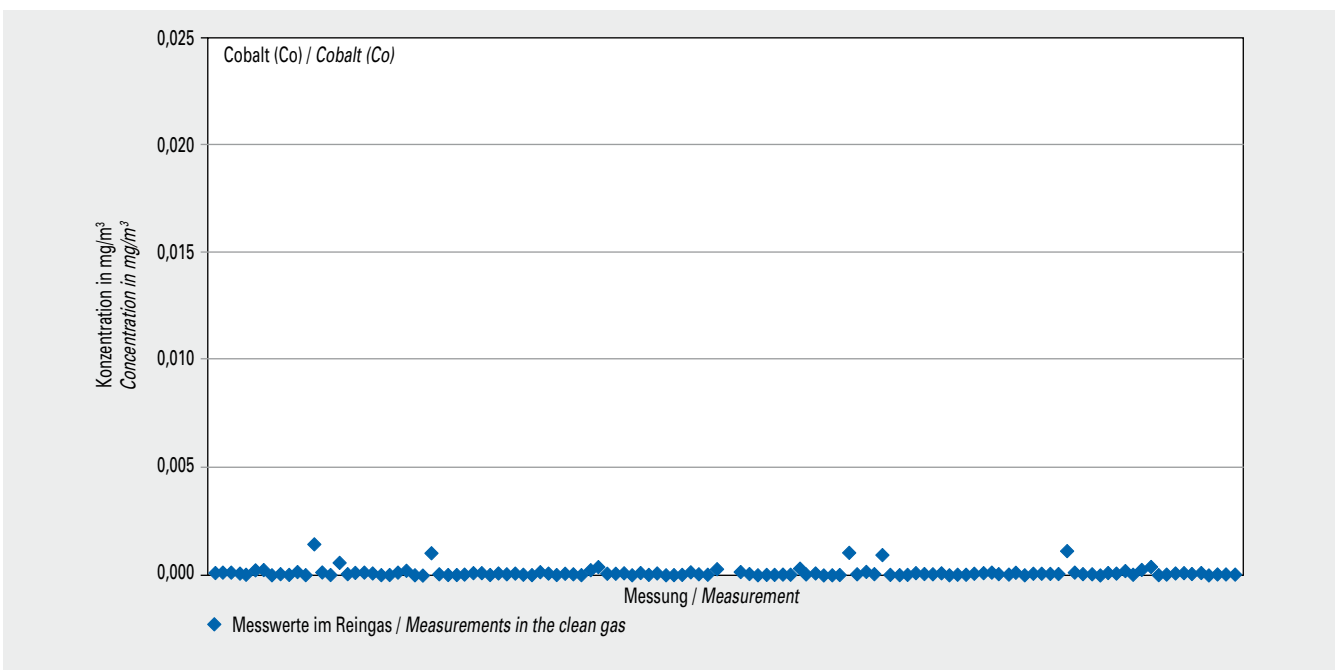
Figure 5-22 shows 124 values from measurements in the clean gas at 38 rotary kilns.

5.14.8 Cobalt (Co)

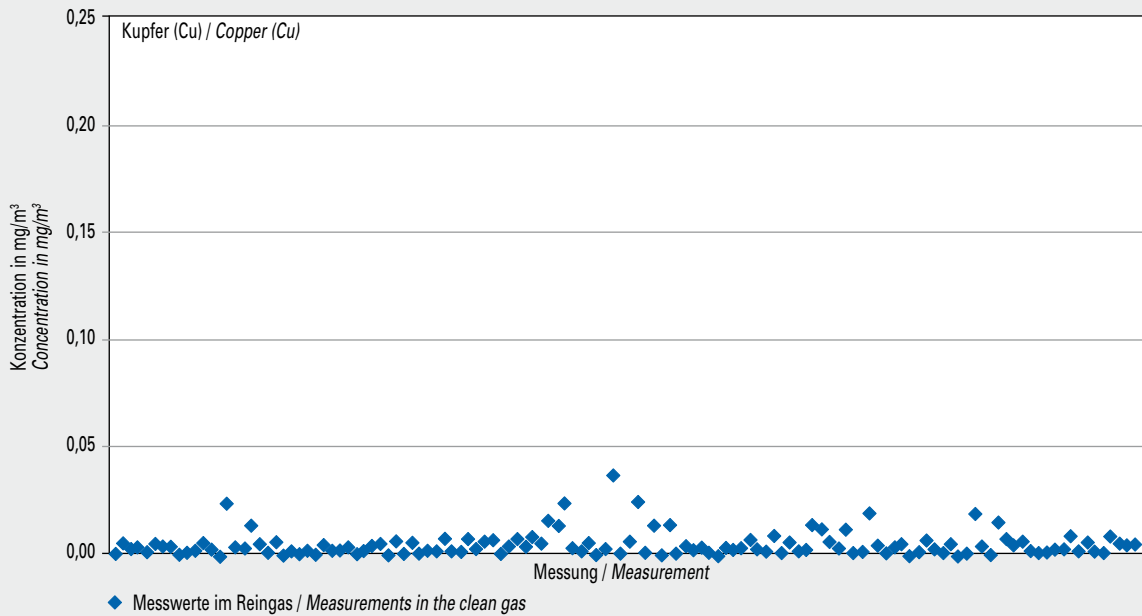
In 2019 wurden 123 Werte aus Messungen im Reingas von 37 Drehofenanlagen ermittelt. (Bild 5-23).

5.14.8 Cobalt (Co)

Figure 5-23 shows 123 values from measurements in the clean gas at 37 rotary kilns.



**Bild 5-23** Messwerte (Jahr 2019) der Konzentration von Cobalt (Co) im Reingas von 37 Drehofenanlagen  
**Fig. 5-23** Cobalt (Co) concentration values (year 2019) in the clean gas of 37 rotary kilns



**Bild 5-24** Messwerte (Jahr 2019) der Konzentration von Kupfer (Cu) im Reingas von 39 Drehofenanlagen  
**Fig. 5-24** Copper (Cu) concentration values (year 2019) measured in the clean gas of 39 rotary kilns

#### 5.14.9 Kupfer (Cu)

In 2019 wurden 128 Werte aus Messungen im Reingas von 39 Drehofenanlagen ermittelt (Bild 5-24).

#### 5.14.9 Copper (Cu)

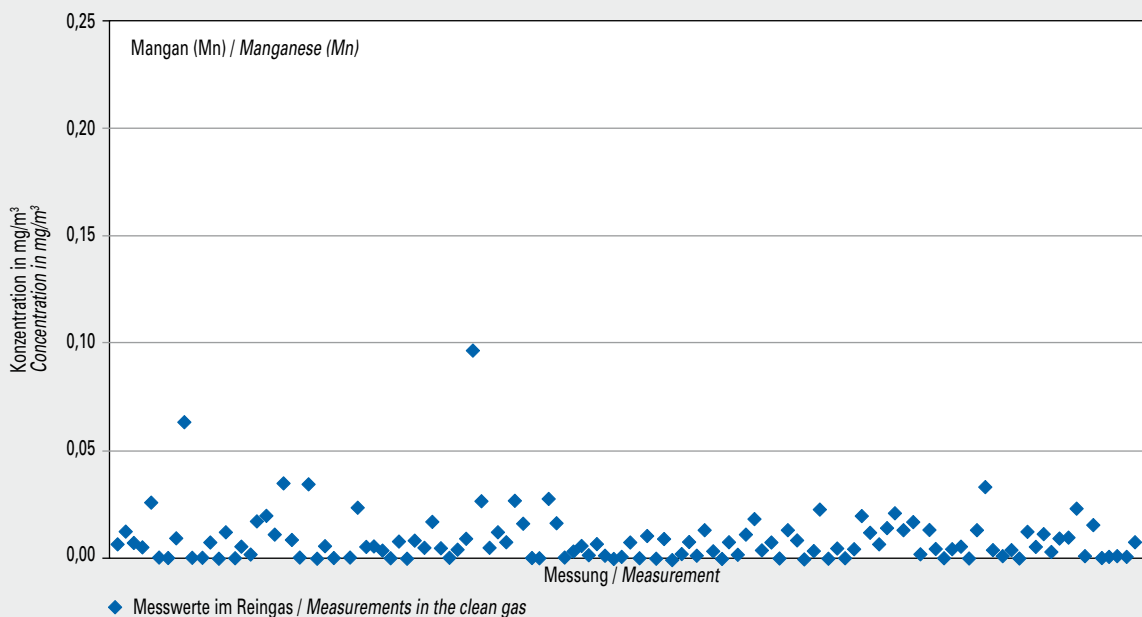
Figure 5-24 shows 128 values from measurements in the clean gas at 39 rotary kilns.

#### 5.14.10 Mangan (Mn)

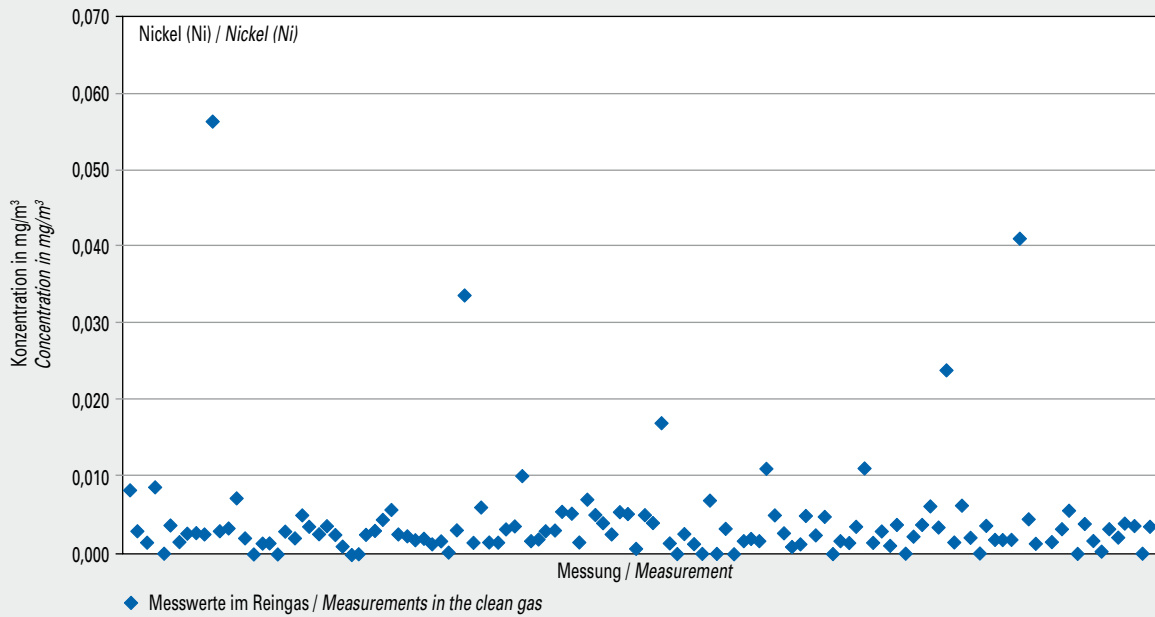
In 2019 wurden 124 Werte aus Messungen im Reingas von 38 Drehofenanlagen ermittelt (Bild 5-25).

#### 5.14.10 Manganese (Mn)

Figure 5-25 shows 124 values from measurements in the clean gas at 38 rotary kilns.



**Bild 5-25** Messwerte (Jahr 2019) der Konzentration von Mangan (Mn) im Reingas von 38 Drehofenanlagen  
**Fig. 5-25** Manganese (Mn) concentration values (year 2019) measured in the clean gas of 38 rotary kilns



**Bild 5-26** Messwerte (Jahr 2019) der Konzentration von Nickel (Ni) im Reingas von 39 Drehofenanlagen  
**Fig. 5-26** Nickel (Ni) concentration values (year 2019) measured in the clean gas of 39 rotary kilns

5.14.11 Nickel (Ni)

In 2019 wurden 126 Werte aus Messungen im Reingas von 39 Drehofenanlagen ermittelt. (Bild 5-26).

5.14.11 Nickel (Ni)

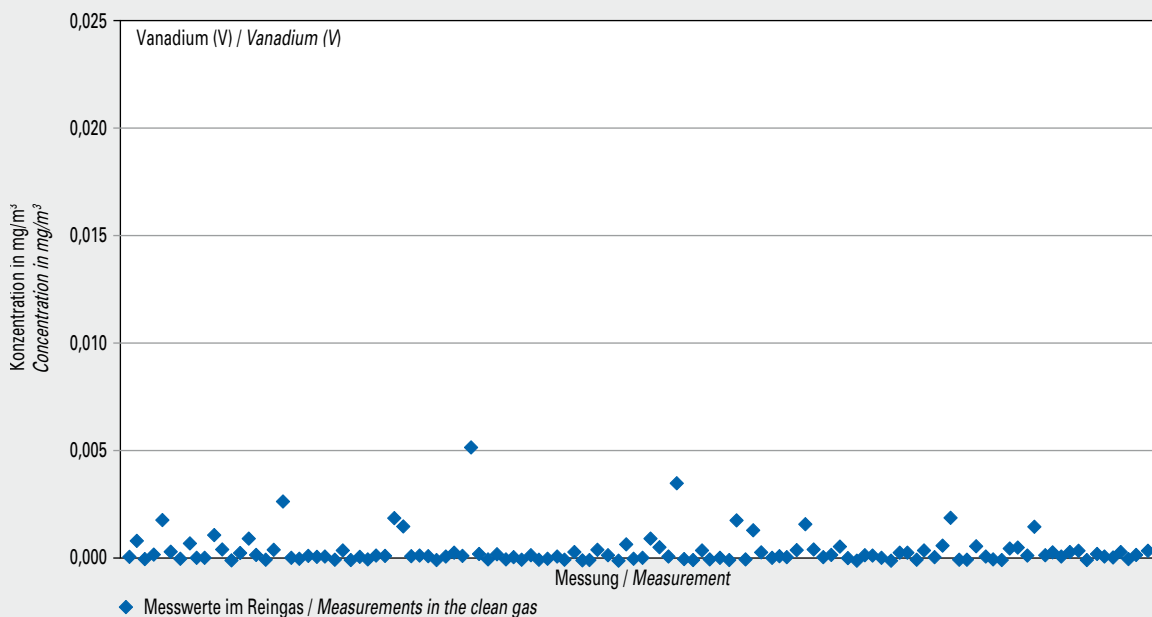
Figure 5-26 shows 126 values from measurements in the clean gas at 39 rotary kilns.

5.14.12 Vanadium (V)

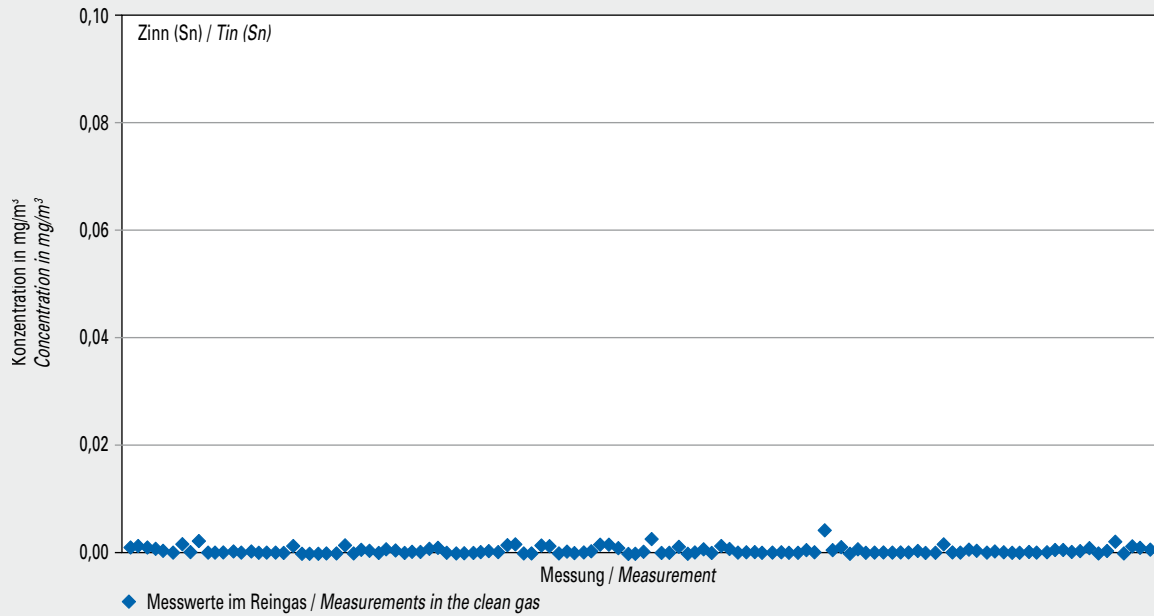
In 2019 wurden 120 Werte aus Messungen im Reingas von 36 Drehofenanlagen ermittelt (Bild 5-27).

5.14.12 Vanadium (V)

Figure 5-27 shows 120 values from measurements in the clean gas at 36 rotary kilns.



**Bild 5-27** Messwerte (Jahr 2019) der Konzentration von Vanadium (V) im Reingas von 36 Drehofenanlagen  
**Fig. 5-27** Vanadium (V) concentration values (year 2019) in the clean gas of 36 rotary kilns



**Bild 5-28** Messwerte (Jahr 2019) der Konzentration von Zinn (Sn) im Reingas von 36 Drehofenanlagen  
**Fig. 5-28** Tin (Sn) concentration values (year 2019) in the clean gas of 36 rotary kilns

#### 5.14.13 Zinn (Sn)

In 2019 wurden 120 Werte aus Messungen im Reingas von 36 Drehofenanlagen ermittelt (Bild 5-28).

#### 5.14.13 Tin (Sn)

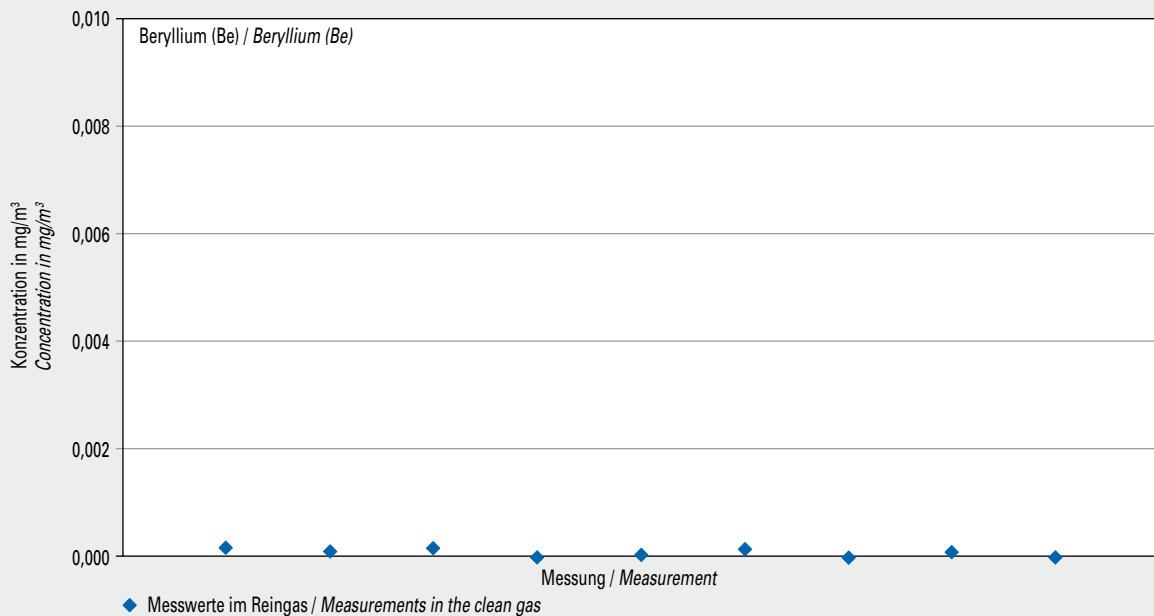
Figure 5-28 shows 120 values from measurements in the clean gas at 36 rotary kilns.

#### 5.14.14 Beryllium (Be)

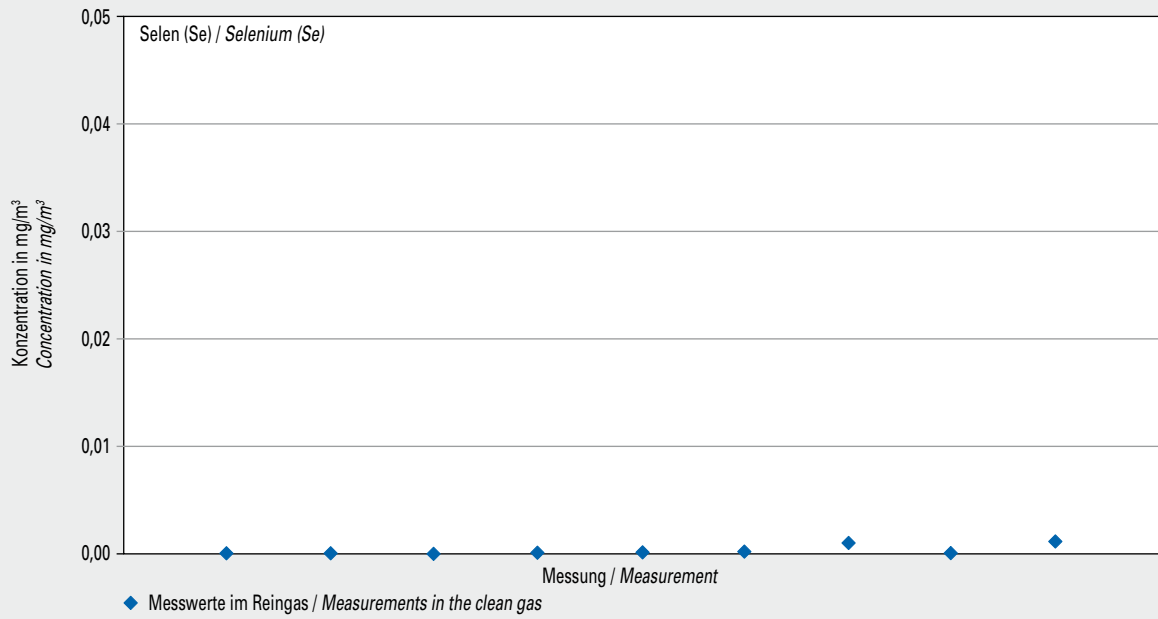
In 2019 wurden neun Werte aus Messungen im Reingas von drei Drehofenanlagen ermittelt (Bild 5-29).

#### 5.14.14 Beryllium (Be)

Figure 5-29 shows nine values from measurements in the clean gas at three rotary kilns.



**Bild 5-29** Messwerte (Jahr 2019) der Konzentration von Beryllium (Be) im Reingas von drei Drehofenanlagen  
**Fig. 5-29** Beryllium (Be) concentration values (year 2019) in the clean gas of three rotary kilns



**Bild 5-30** Messwerte (Jahr 2019) der Konzentration von Selen (Se) im Reingas von drei Drehofenanlagen  
**Fig. 5-30** Selen (Se) concentration values (year 2019) measured in the clean gas of three rotary kilns

5.14.15 Selen (Se)

In 2019 wurden neun Werte aus Messungen im Reingas von drei Drehofenanlagen ermittelt (Bild 5-30).

5.14.15 Selenium (Se)

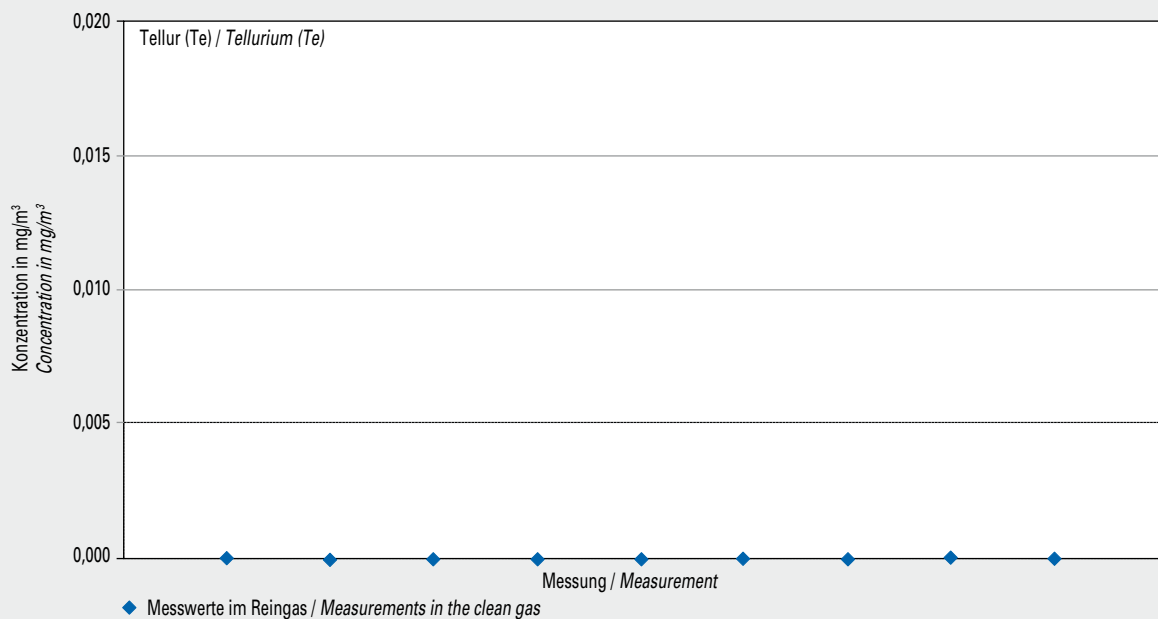
Figure 5-30 shows nine values from measurements in the clean gas at three rotary kilns.

5.14.16 Tellur (Te)

In 2019 wurden neun Werte aus Messungen im Reingas von drei Drehofenanlagen ermittelt (Bild 5-31).

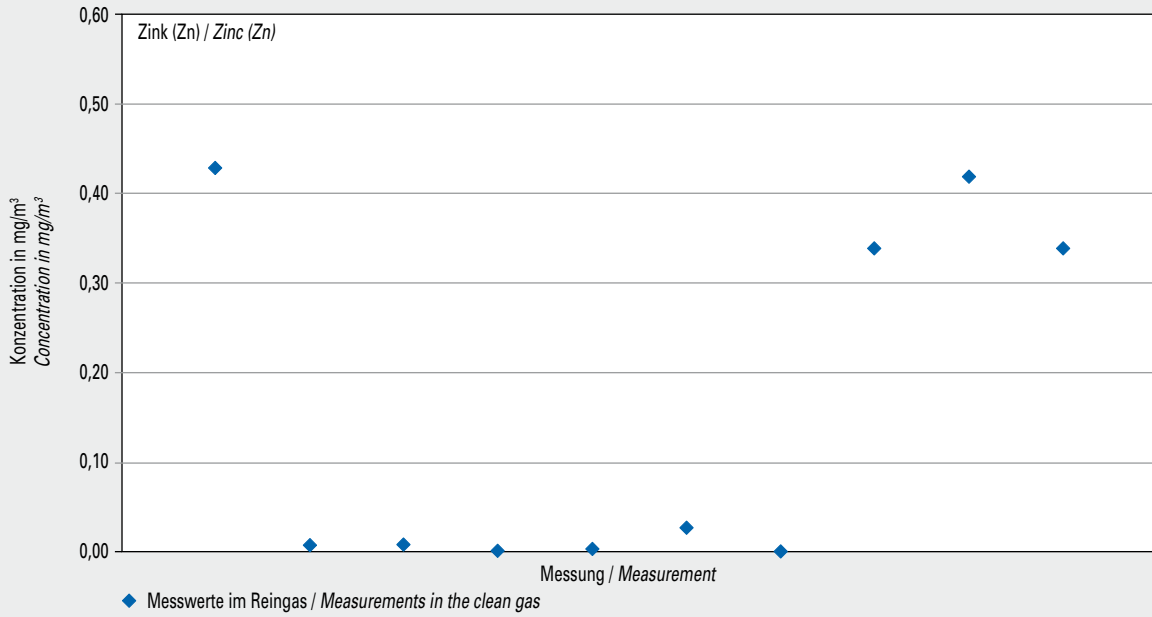
5.14.16 Tellurium (Te)

Figure 5-31 shows nine values from measurements in the clean gas at three rotary kilns.



**Bild 5-31** Messwerte (Jahr 2019) der Konzentration von Tellur (Te) im Reingas von drei Drehofenanlagen  
**Fig. 5-31** Tellurium (Te) concentration values (year 2019) measured in the clean gas of three rotary kilns





**Bild 5-32** Messwerte (Jahr 2019) der Konzentration von Zink (Zn) im Reingas von zwei Drehofenanlagen  
**Fig. 5-32** Zinc (Zn) concentration values (year 2019) measured in the clean gas of two rotary kilns

5.14.17 Zink (Zn)

In 2019 wurden zehn Werte aus Messungen im Reingas von zwei Drehofenanlagen ermittelt (Bild 5-32).

5.14.17 Zinc (Zn)

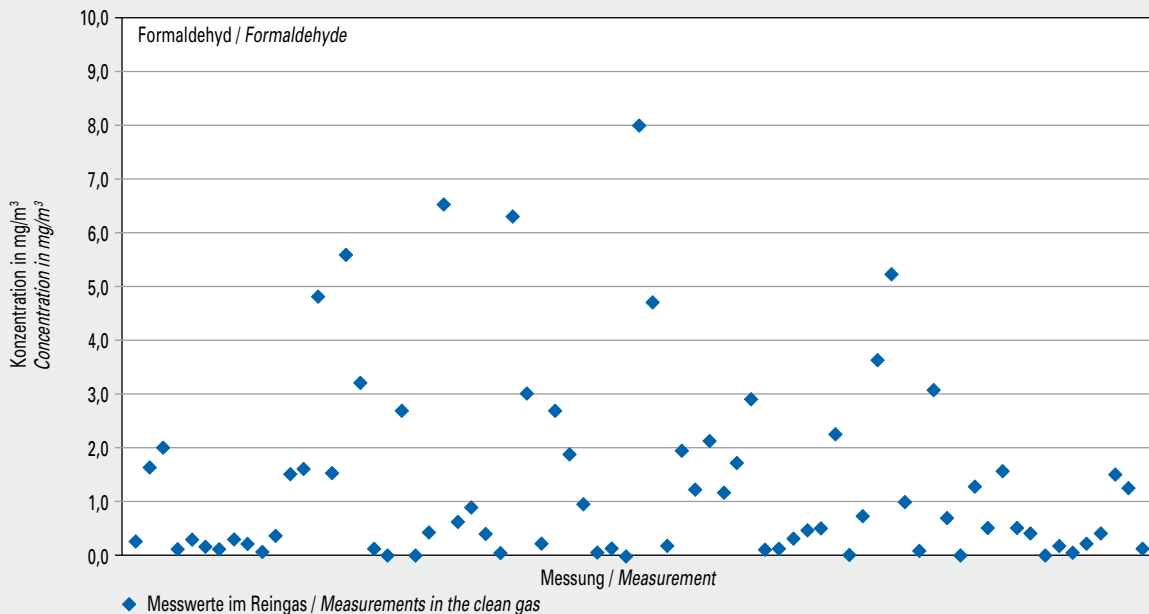
Figure 5-32 shows ten values from clean gas measurements at two rotary kilns.

5.14.18 Formaldehyd

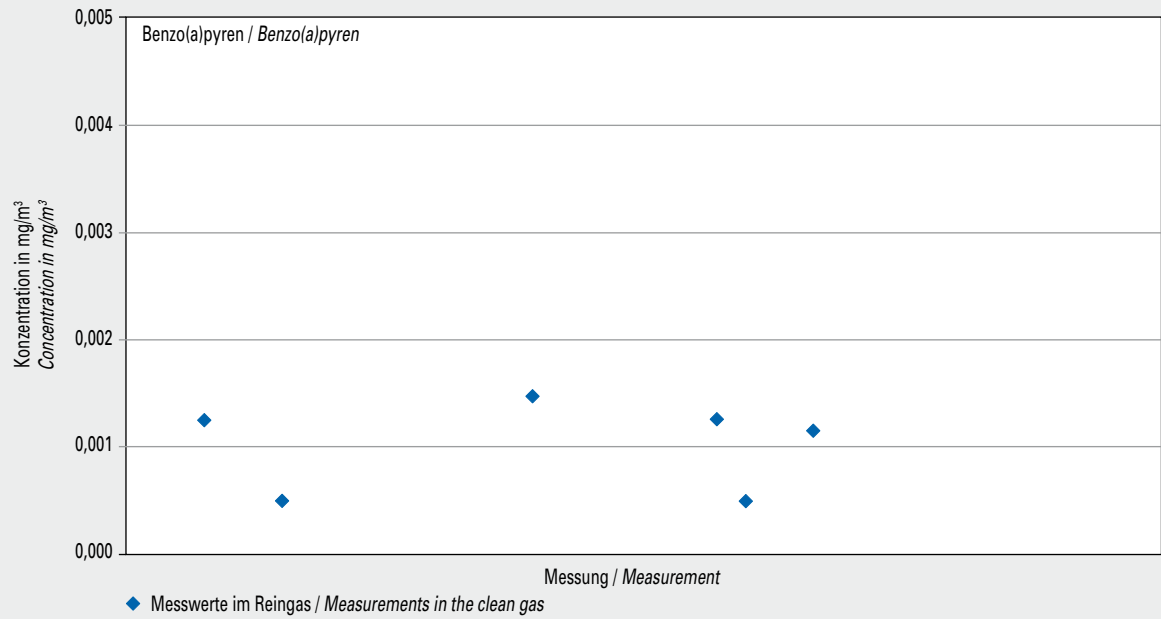
In 2019 wurden 73 Werte aus Messungen im Reingas von 22 Drehofenanlagen ermittelt (Bild 5-33).

5.14.18 Formaldehyde

Fig. 5-33 shows 73 values from clean gas measurements at 22 rotary kilns.



**Bild 5-33** Messwerte (Jahr 2019) der Konzentration von Formaldehyd im Reingas von 22 Drehofenanlagen  
**Fig. 5-33** Formaldehyde concentration values (year 2019) measured in the clean gas of 22 rotary kilns



**Bild 5-34** Messwerte (Jahr 2019) der Konzentration von Benzo(a)pyren im Reingas von 34 Drehofenanlagen  
**Fig. 5-34** Benzo(a)pyren concentration values (year 2019) measured in the clean gas of 34 rotary kilns

#### 5.14.19 Benzo(a)pyren

In 2019 wurden 106 Werte aus Messungen an 34 Ofenanlagen ermittelt (Bild 5-34). Dabei konnte in 100 Fällen kein Benzo(a)pyren nachgewiesen werden.

#### 5.14.19 Benzo(a)pyren

Fig. 5-34 shows 106 values from clean gas measurements at 34 rotary kilns. In 100 cases no benzo(a)pyren was detected.

**Literatur ■**

- [1] Zahlen und Daten – Zementindustrie in Deutschland 2019, Verein Deutscher Zementwerke e. V., Düsseldorf
- [2] Verminderung der CO<sub>2</sub>-Emission, Umfrage zum Monitoring-Bericht 2012, Verein Deutscher Zementwerke e. V., Düsseldorf
- [3] Klein, H.; Hoenig, V.: Modellrechnungen zum Brennstoffenergiebedarf des Klinkerbrennprozesses, Cement International 3/2006 Vol. 4
- [4] Verordnung (EG) 166/2006 des Europäischen Parlaments und des Rates vom 18. Januar 2006 über die Schaffung eines Europäischen Schadstofffreisetzung- und -verbringungsregisters und zur Änderung der Richtlinien 91/689/EWG und 96/61/EG
- [5] Hoenig, V. et al.: Energieeffizienz bei der Zementherstellung, Teil 1; Cement International 3/2013
- [6] Hoenig, V. et al.: Energieeffizienz bei der Zementherstellung, Teil 2, Cement International 4/2013
- [7] R. Harraß, S. Schäfer, V. Hoenig: Quecksilber in der deutschen Zementindustrie – eine Bilanz; Cement International 6/2018

**Ergänzende Literatur ■**

- Umweltdaten der deutschen Zementindustrie (1998 - 2018), Verein Deutscher Zementwerke e. V., Düsseldorf
- Zement-Taschenbuch 2008, Verein Deutscher Zementwerke e. V., Düsseldorf
- Rohstoffversorgung und Ressourcenproduktivität in der deutschen Zementindustrie - Analyse des Status quo und Perspektiven, Initiative für Nachhaltigkeit in der deutschen Zementindustrie, Berlin; Wuppertal Institut für Klima, Umwelt, Energie GmbH, Wuppertal.
- Richtlinie VDI 2094:2019-07 (Entwurf). Zementwerke: Emissionsminderung
- Norm DIN 1164-10:2013-03. Zement mit besonderen Eigenschaften
- Norm DIN EN 197-1:2011-11. Zement: Teil 1: Zusammensetzung, Anforderungen und Konformitätskriterien von Normalzement

**Literature ■**

- [1] Zahlen und Daten – Zementindustrie in Deutschland 2019, Verein Deutscher Zementwerke e. V., Duesseldorf
- [2] Verminderung der CO<sub>2</sub> Emission, Umfrage zum Monitoring-Bericht 2012, Verein Deutscher Zementwerke e. V., Duesseldorf
- [3] Klein, H.; Hoenig, V.: Model calculations of the fuel energy requirement for the clinker burning process, Cement International 3/2006 Vol. 4
- [4] Regulation (EC) No 166/2006 of the European Parliament and the Council of 18 January 2006 concerning the establishment of a European Pollutant Release and Transfer Register and amending Council Directives 91/689/EEC and 96/61/EC
- [5] Hoenig, V. et al.: Energy efficiency in cement production, part 1; Cement International 3/2013
- [6] Hoenig, V. et al.: Energy efficiency in cement production, part 2; Cement International 4/2013
- [7] R. Harraß, S. Schäfer, V. Hoenig: Mercury in the German cement industry – a balance; Cement International 6/2018

**Additional Literature ■**

- Environmental Data of the German Cement Industry (1998 - 2018), Verein Deutscher Zementwerke e. V., Duesseldorf
- Zement-Taschenbuch 2008, Verein Deutscher Zementwerke e. V., Duesseldorf
- Rohstoffversorgung und Ressourcenproduktivität in der deutschen Zementindustrie - Analyse des Status quo und Perspektiven, Initiative for Sustainability in the German Cement Industry, Berlin; Wuppertal Institute for Climate, Environment, Energy, Wuppertal.
- VDI-Guideline 2094:2019-07 (draft). Cement plants: Emission control
- Standard DIN 1164-10:2013-03. Special cement – Part 10
- Standard DIN EN 197-1:2011-11. Cement – Part 1: Composition, specifications and conformity criteria for common cements



Copyright/Herausgeber:

Verein Deutscher Zementwerke e.V.  
Postfach 30 10 63, D-40410 Düsseldorf  
Tannenstraße 2, D-40476 Düsseldorf  
Telefon: (02 11) 45 78 - 0  
Telefax: (02 11) 45 78 - 296  
E-Mail: [umweltdaten@vdz-online.de](mailto:umweltdaten@vdz-online.de)  
Internet: <http://www.vdz-online.de>

Alle Rechte vorbehalten

Veröffentlichung und  
Gesamtproduktion:  
Verein Deutscher Zementwerke e. V.

Redaktionsschluss: Juli 2020

Fotonachweis:  
SCHWENK Zement KG | Fotograf:  
Conné van d' Grachten

Zitierung:  
Verein Deutscher Zementwerke, Hrsg.  
Umweltdaten der deutschen  
Zementindustrie 2019.  
Düsseldorf, 2020

*Copyright/Publisher:*

*Verein Deutscher Zementwerke e.V.  
P.O. Box 30 10 63, D-40410 Duesseldorf  
Tannenstrasse 2, D-40476 Duesseldorf  
Phone: +49 (0) 211 45 78 - 0  
Fax: +49 (0) 211 45 78 - 296  
E-Mail: [umweltdaten@vdz-online.de](mailto:umweltdaten@vdz-online.de)  
Internet: <http://www.vdz-online.de>*

*All rights reserved*

*Overall production:  
Verein Deutscher Zementwerke e. V.*

*Press deadline: July 2020*

*Photo credits:  
SCHWENK Zement KG | Fotograf:  
Conné van d' Grachten*

*Quotation:  
Verein Deutscher Zementwerke e.V. (Ed.)  
Environmental data of the  
German cement industry 2019.  
Duesseldorf, 2020*



VDZ  
Postfach 30 10 63  
D-40410 Düsseldorf  
Tannenstraße 2  
D-40476 Düsseldorf

VDZ  
P.O. Box 30 10 63  
40410 Duesseldorf, Germany  
Tannenstrasse 2  
40476 Duesseldorf, Germany